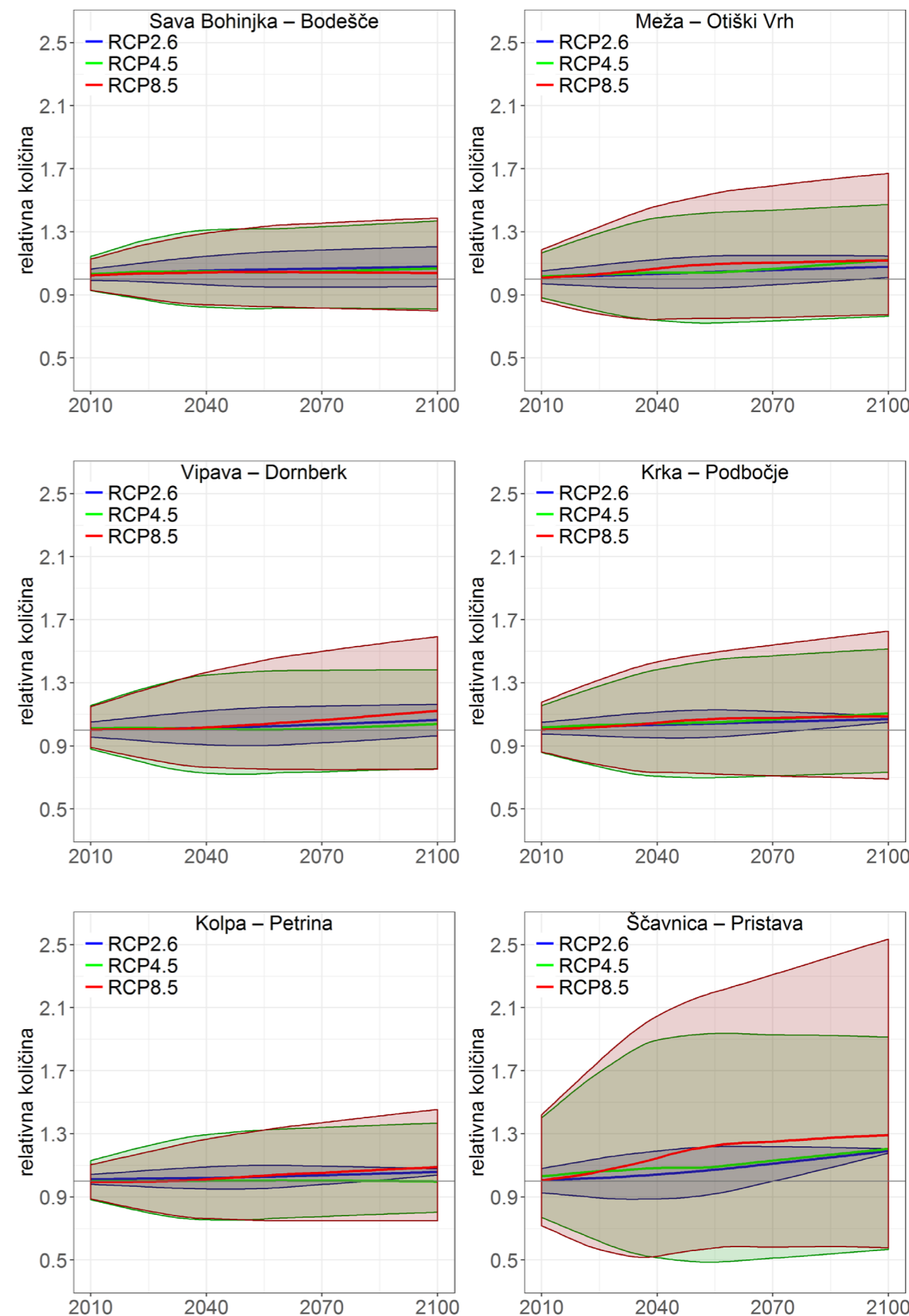


PRILOGA 4: SPREMEMBE HIDROLOŠKIH SPREMENLJIVK

Priloga 4 vsebuje projekcije srednjih, velikih in malih pretokov. Obsega povprečne spremembe v tridesetletnih obdobjih in spremembe velikih pretokov s povratno dobo 10, 100 in 500 let.

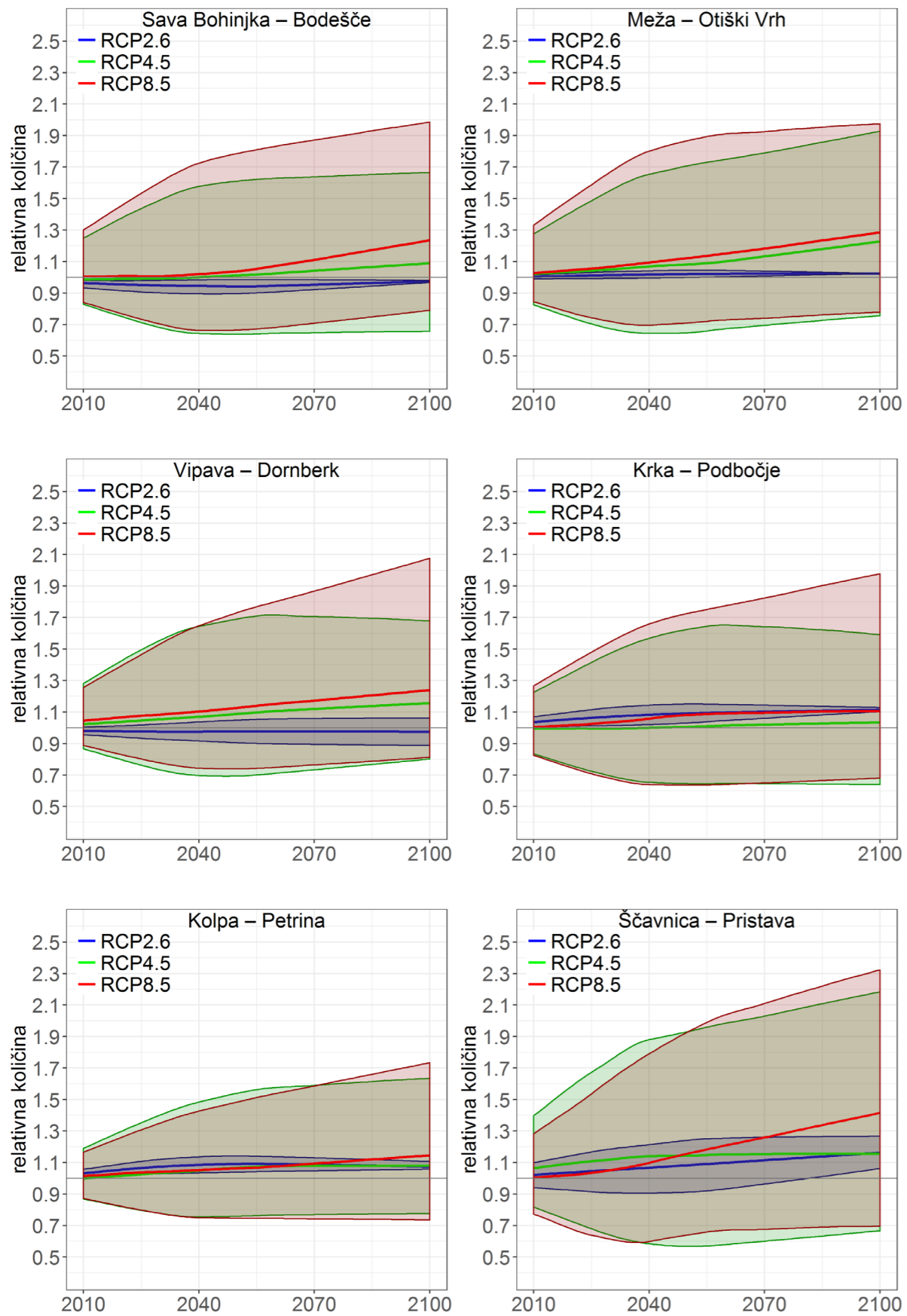
ČASOVNI POTEKI	525
PRETOKI	525
RAZPONI ODSTOPANJ PO POSTAJAH	528
PRETOKI	528
SREDNJE SPREMEMBE Z ZANESLJIVOSTJO	538
PRETOKI	538
RAZPONI SPREMEMB	548
PRETOKI	548
POVRATNE DOBE	558
RAZPONI SPREMEMB PO POSTAJAH	560
POVRATNE DOBE	560

Srednji pretoki



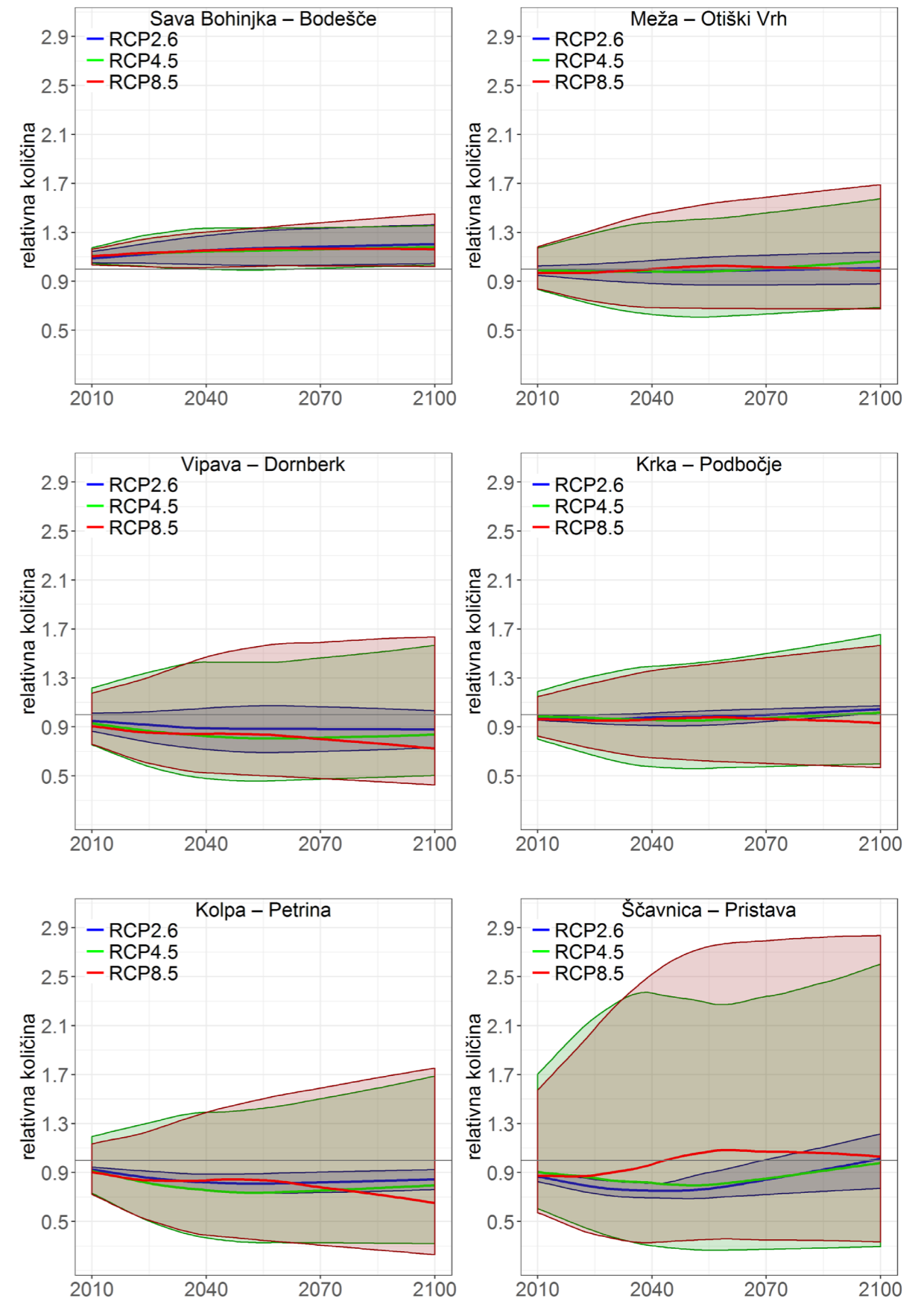
Slika 4.1 | Časovni potek spremembe srednjih pretokov do konca 21. stoletja na izbranih postajah za tri scenarije, vključno z razponi odstopanj. Prikazana je relativna vrednost glede na povprečje v obdobju 1981–2010. Črte prikazujejo glajeno mediano modelskih projekcij, zgornji in spodnji rob ovojnic največjo in najmanjšo vrednost modelskih projekcij.

Veliki pretoki



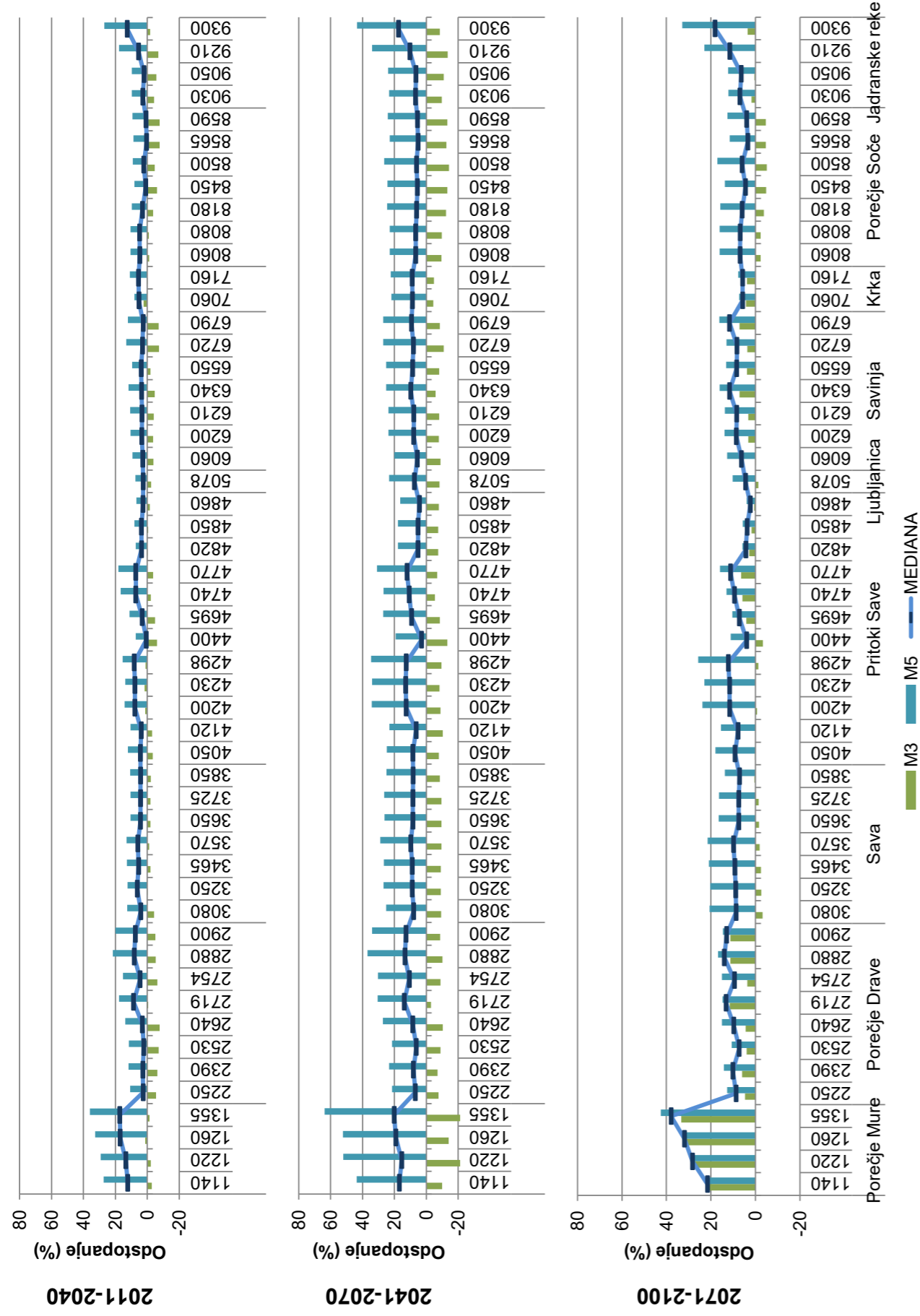
Slika 4.2 | Časovni potek spremembe velikih pretokov (srednjih letnih konic) do konca 21. stoletja na izbranih postajah za tri scenarije, vključno z razponi odstopanj. Prikazana je relativna vrednost glede na povprečje v obdobju 1981–2010. Črte prikazujejo glajeno mediano modelskih projekcij, zgornji in spodnji rob ovojnici največjo in najmanjšo vrednost modelskih projekcij.

Mali pretoki



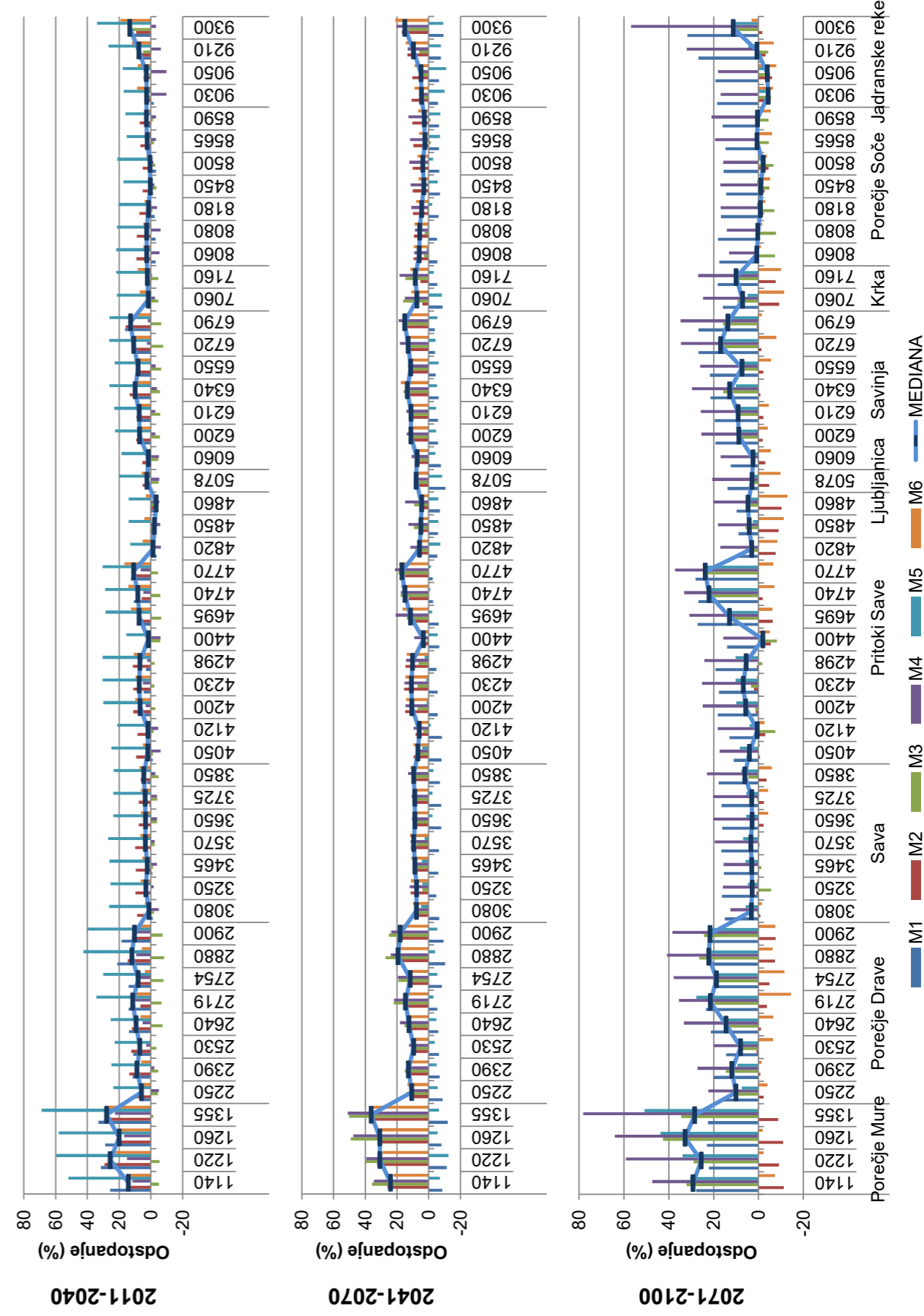
Slika 4.3 | Časovni potek spremembe malih pretokov do konca 21. stoletja na izbranih postajah za tri scenarije, vključno z razponi odstopanj. Prikazana je relativna vrednost glede na povprečje v obdobju 1981–2010. Črte prikazujejo glajeno mediano modelskih projekcij, zgornji in spodnji rob ovojnici največjo in najmanjšo vrednost modelskih projekcij.

Srednji pretoki, RCP2.6



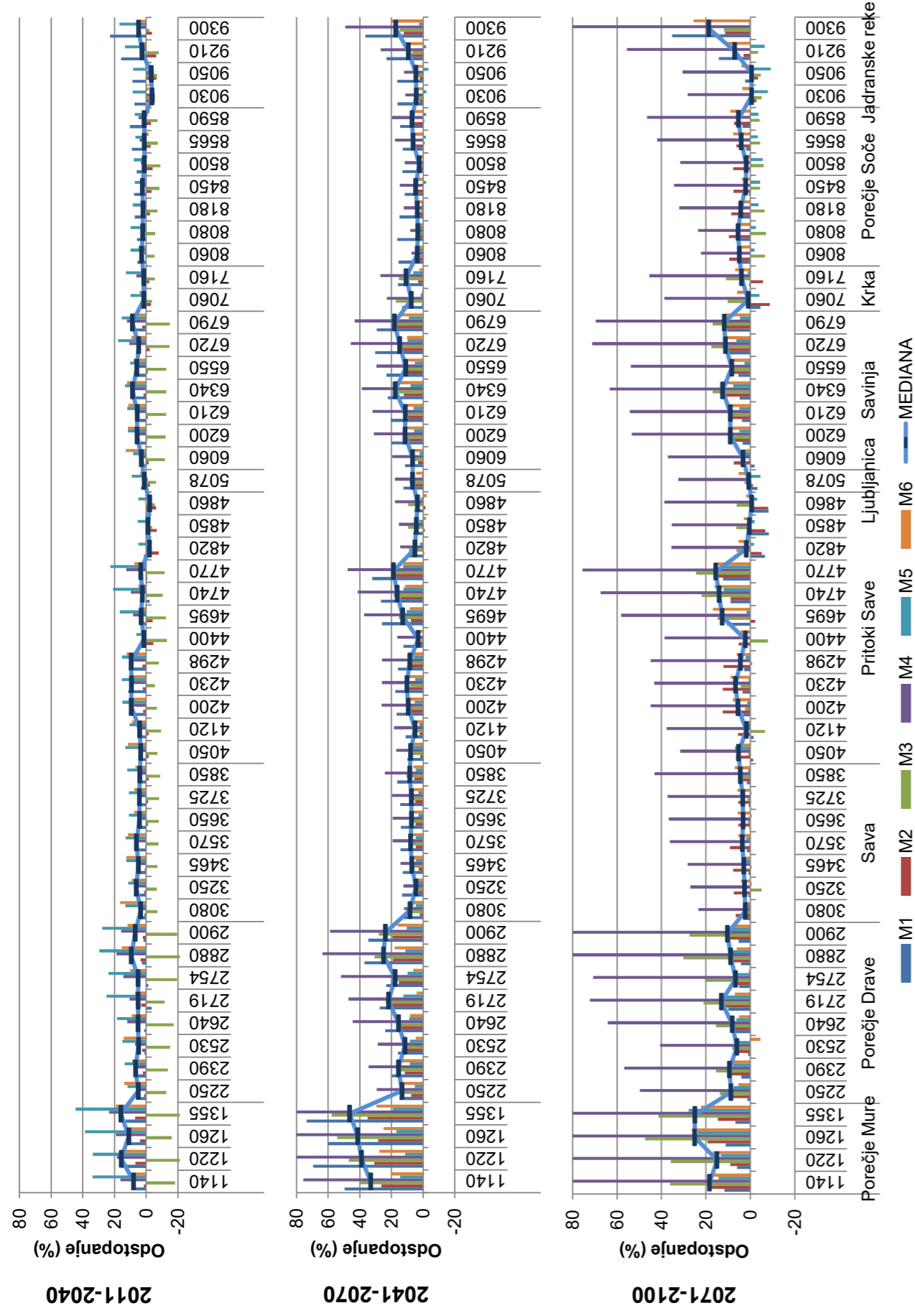
Slika 4.4 | Odstopanja modelskih srednjih pretokov v treh projekcijskih obdobjih od obdobja 1981–2010 za scenarij RCP2.6

Srednji pretoki, RCP4.5



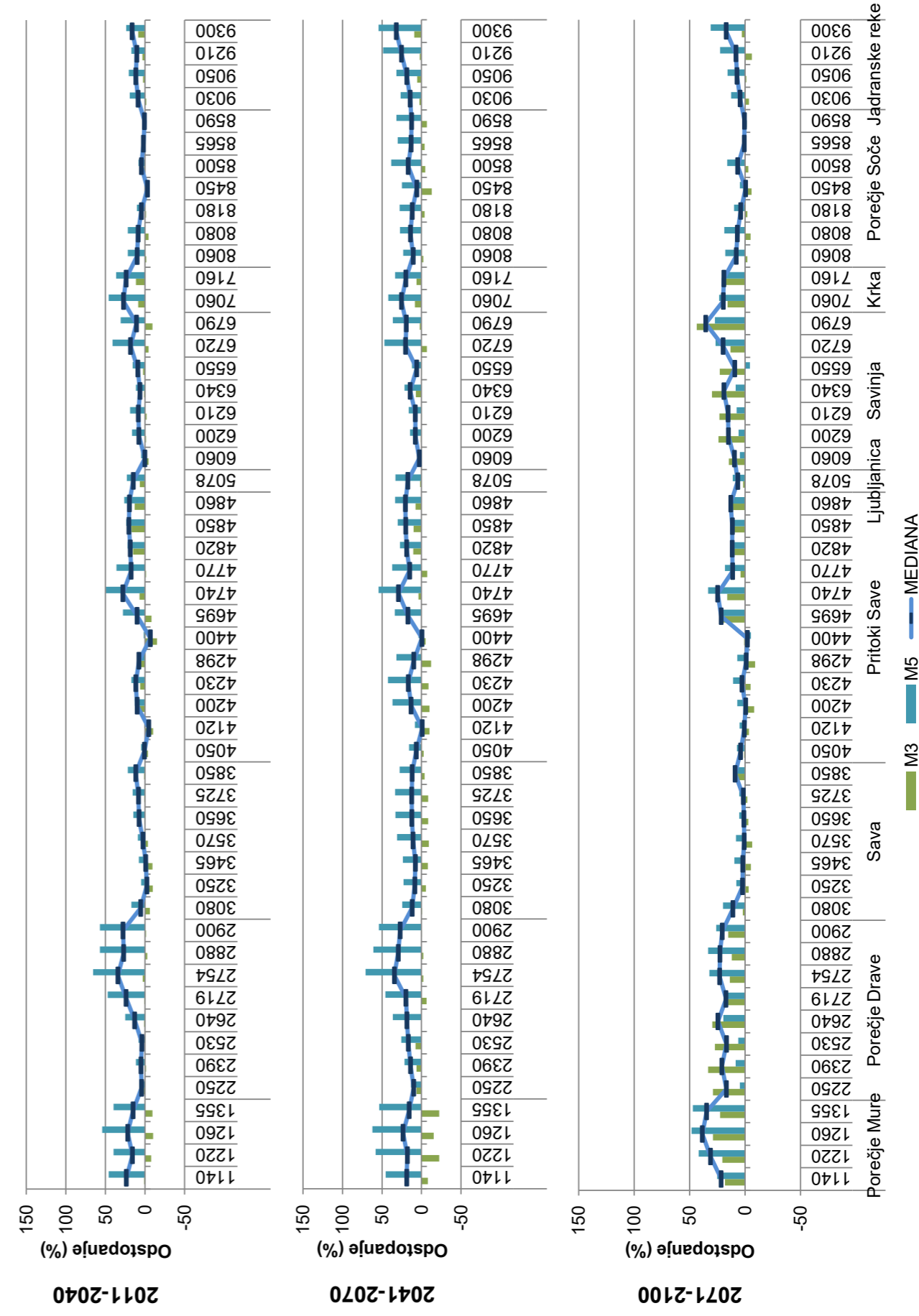
Slika 4.5 | Odstopanja modelskih srednjih pretokov v treh projekcijskih obdobjih od obdobja 1981–2010 za scenarij RCP4.5

Srednji pretoki, RCP8.5



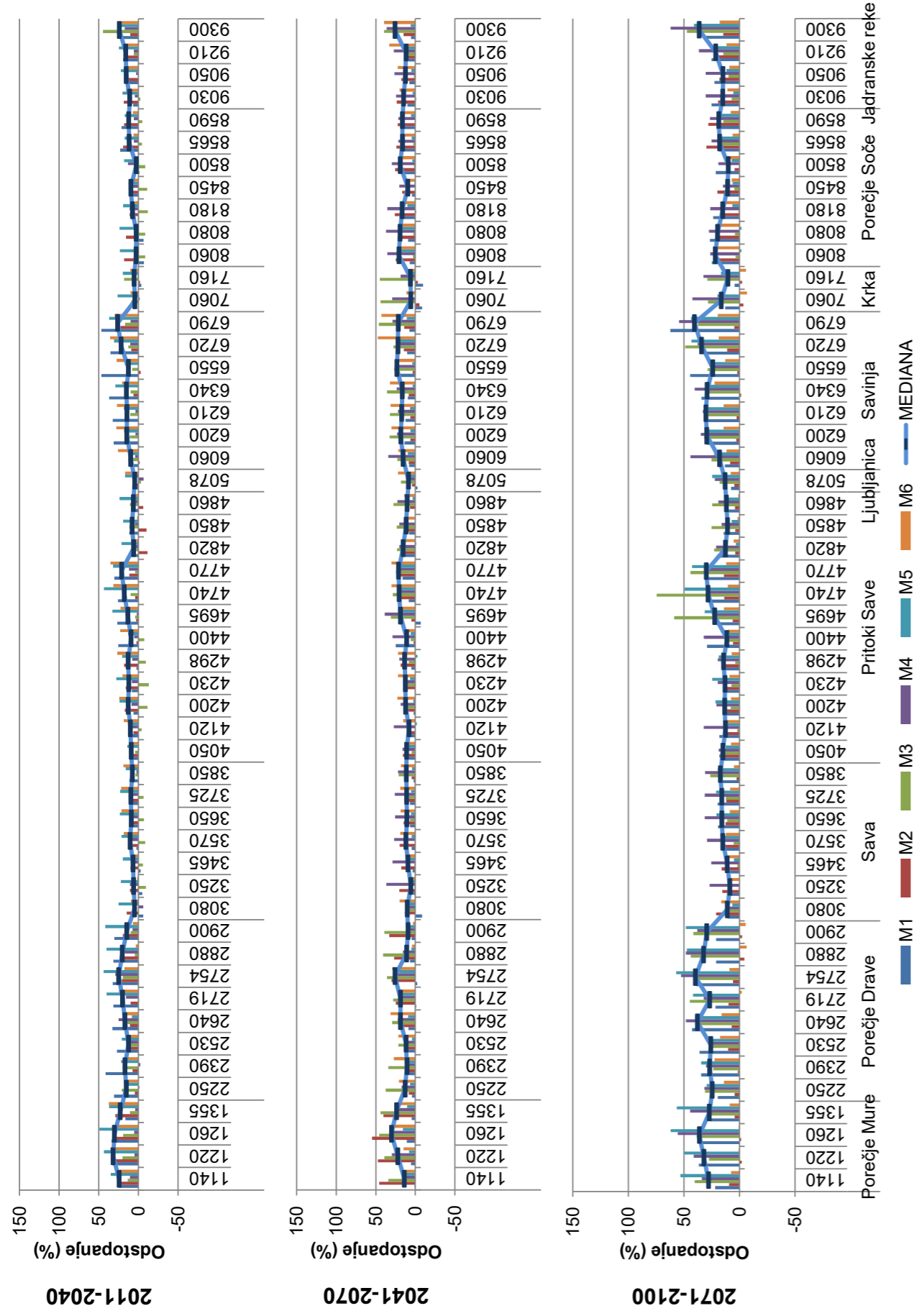
Slika 4.6 | Odstopanja modelskih srednjih pretokov v treh projekcijskih obdobjih od obdobja 1981–2010 za scenarij RCP8.5

Veliki pretoki, RCP2.6



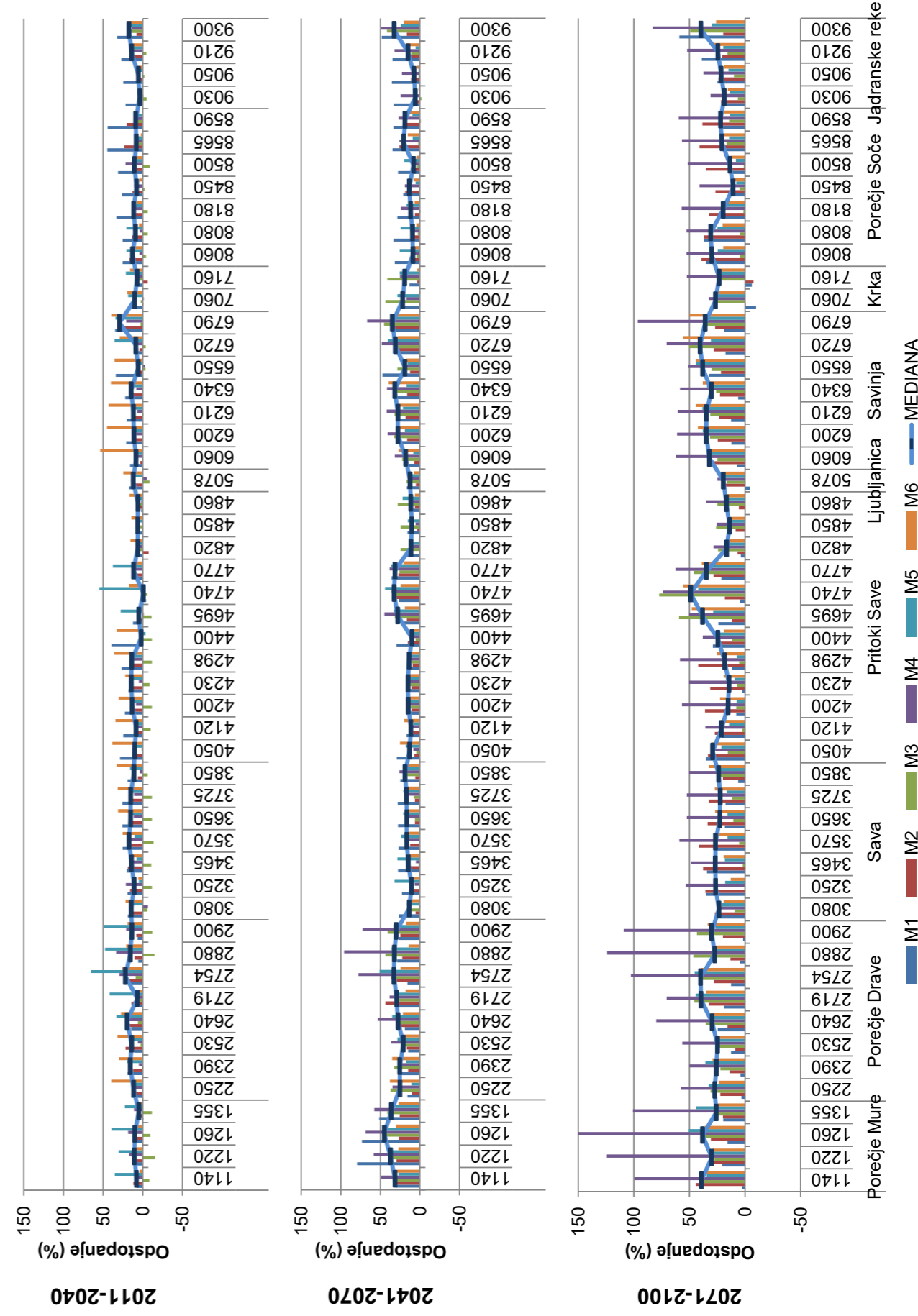
Slika 4.7 | Odstopanja modelskih velikih pretokov (srednjih letnih konic) v treh projekcijskih obdobjih od obdobja 1981–2010 za scenarij RCP2.6

Veliki pretoki, RCP4.5



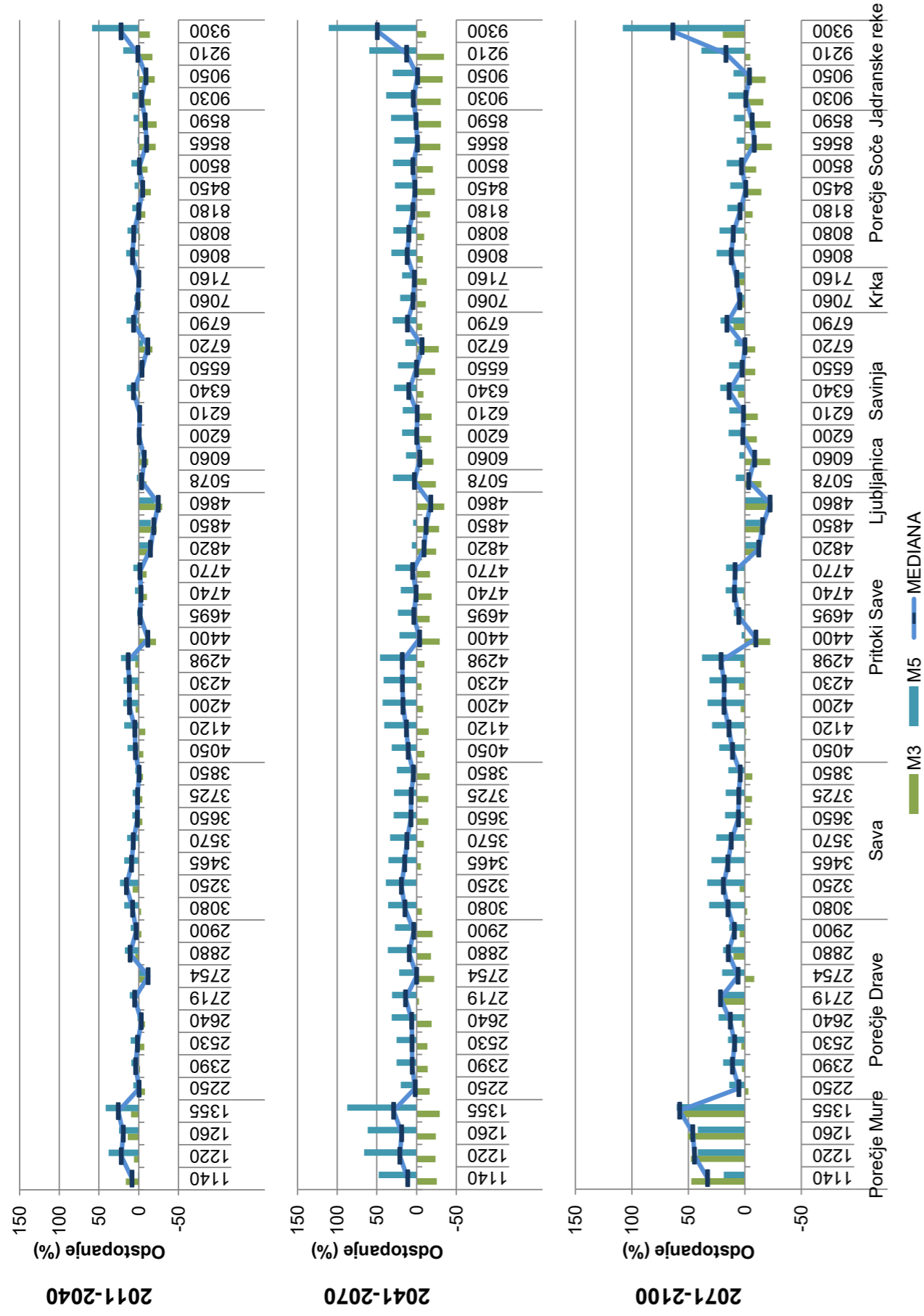
Slika 4.8 | Odstopanja modelskih velikih pretokov (srednjih letnih konic) v treh projekcijskih obdobjih od obdobja 1981–2010 za scenarij RCP4.5

Veliki pretoki, RCP8.5



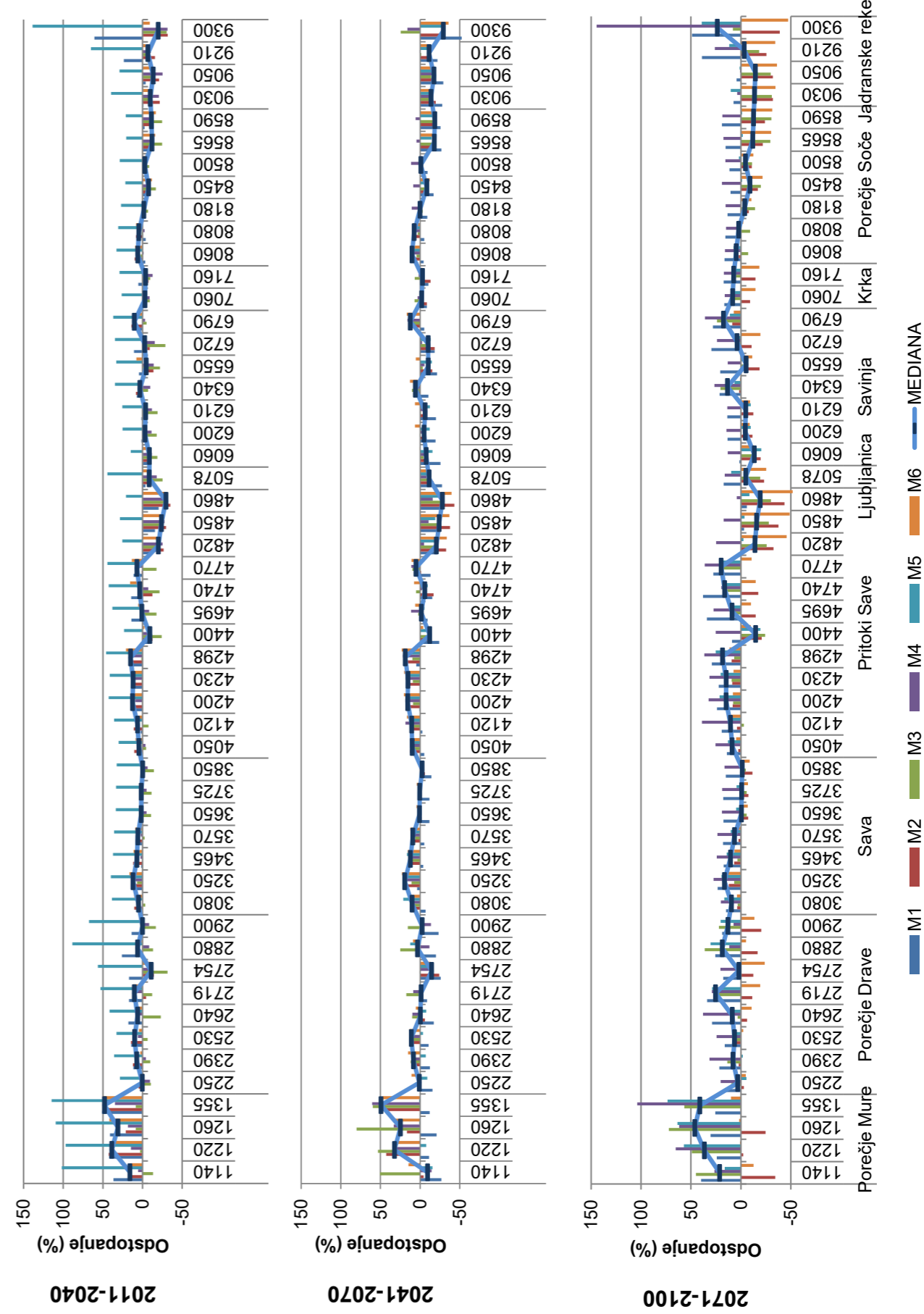
Slika 4.9 | Odstopanja modelskih velikih pretokov (srednjih letnih konic) v treh projekcijskih obdobjih od obdobja 1981–2010 za scenarij RCP8.5

Mali pretoki, RCP2.6



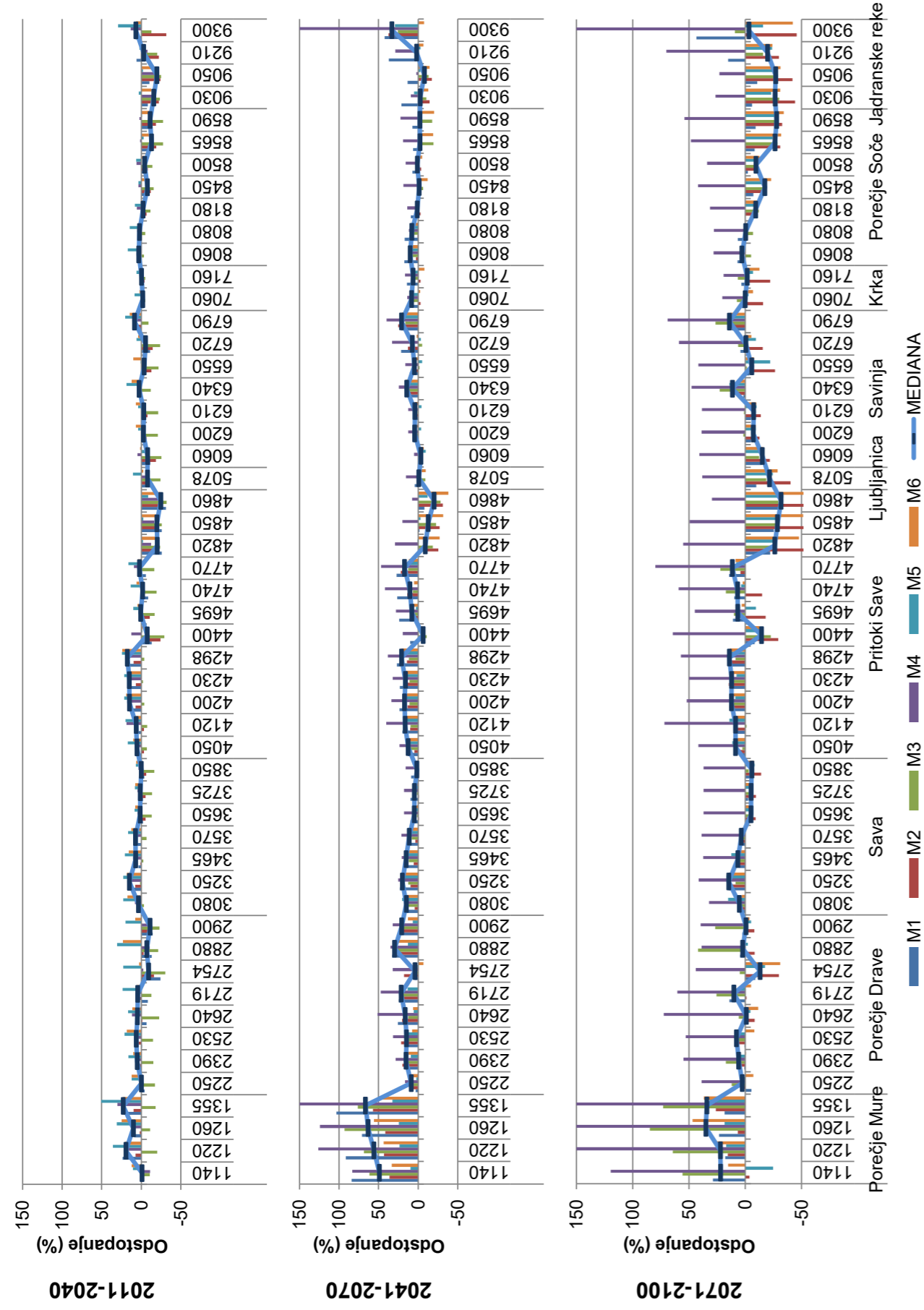
Slika 4.10 | Odstopanja modelskih srednjih malih pretokov v treh projekcijskih obdobjih od obdobja 1981–2010 za scenarij RCP2.6

Mali pretoki, RCP4.5



Slika 4.11 | Odstopanja modelskih srednjih malih pretokov v treh projekcijskih obdobjih od obdobja 1981–2010 za scenarij RCP4.5

Mali pretoki, RCP8.5



Slika 4.12 | Odstopanja modelskih srednjih malih pretokov v treh projekcijskih obdobjih od obdobja 1981–2010 za scenarij RCP8.5

Srednji pretok, scenarij RCP2.6

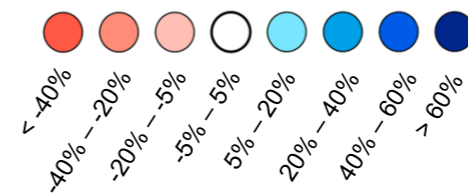
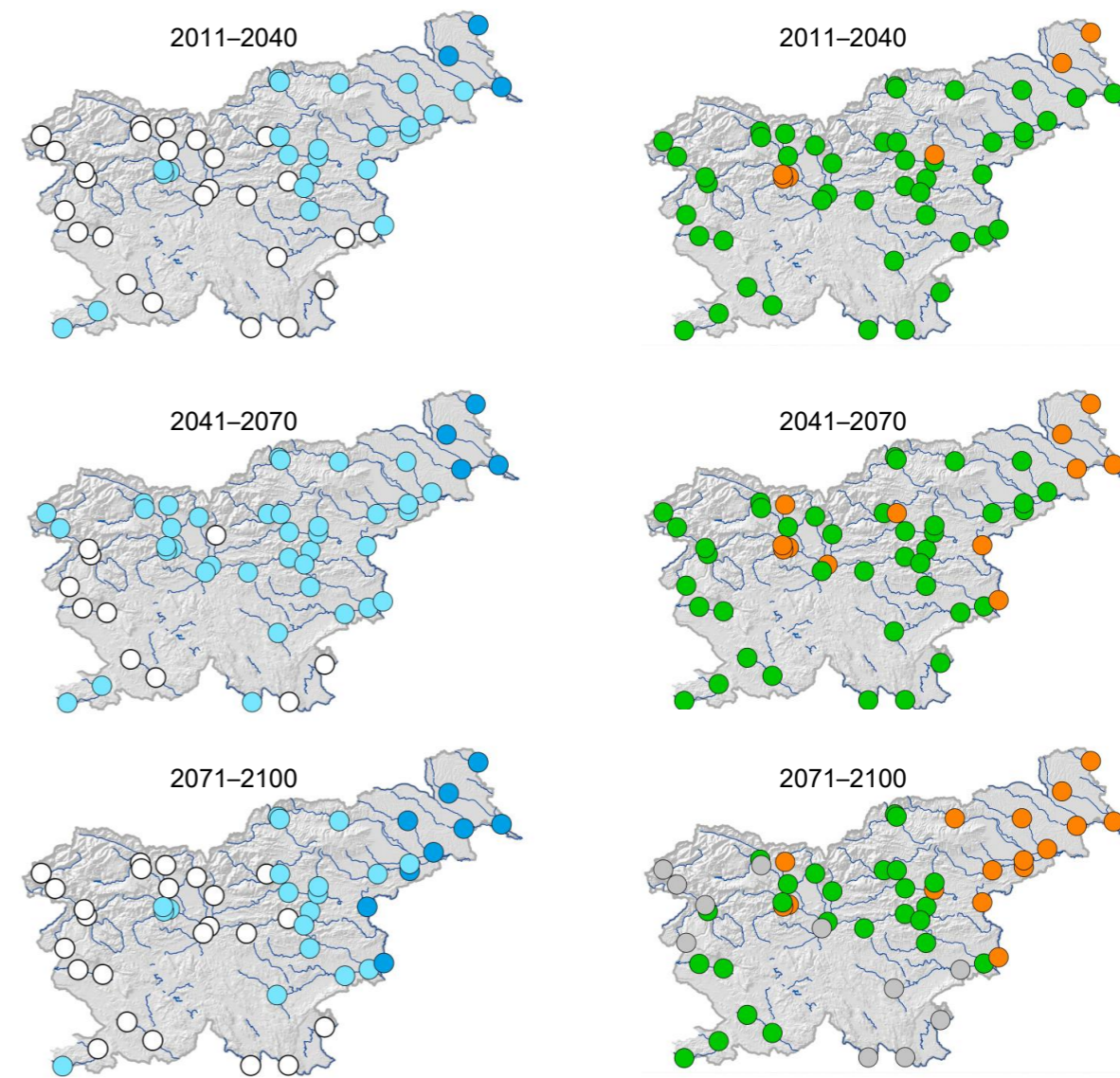
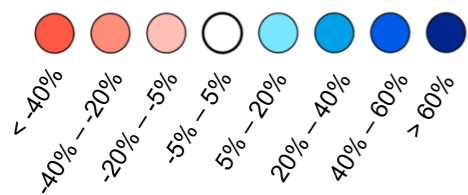
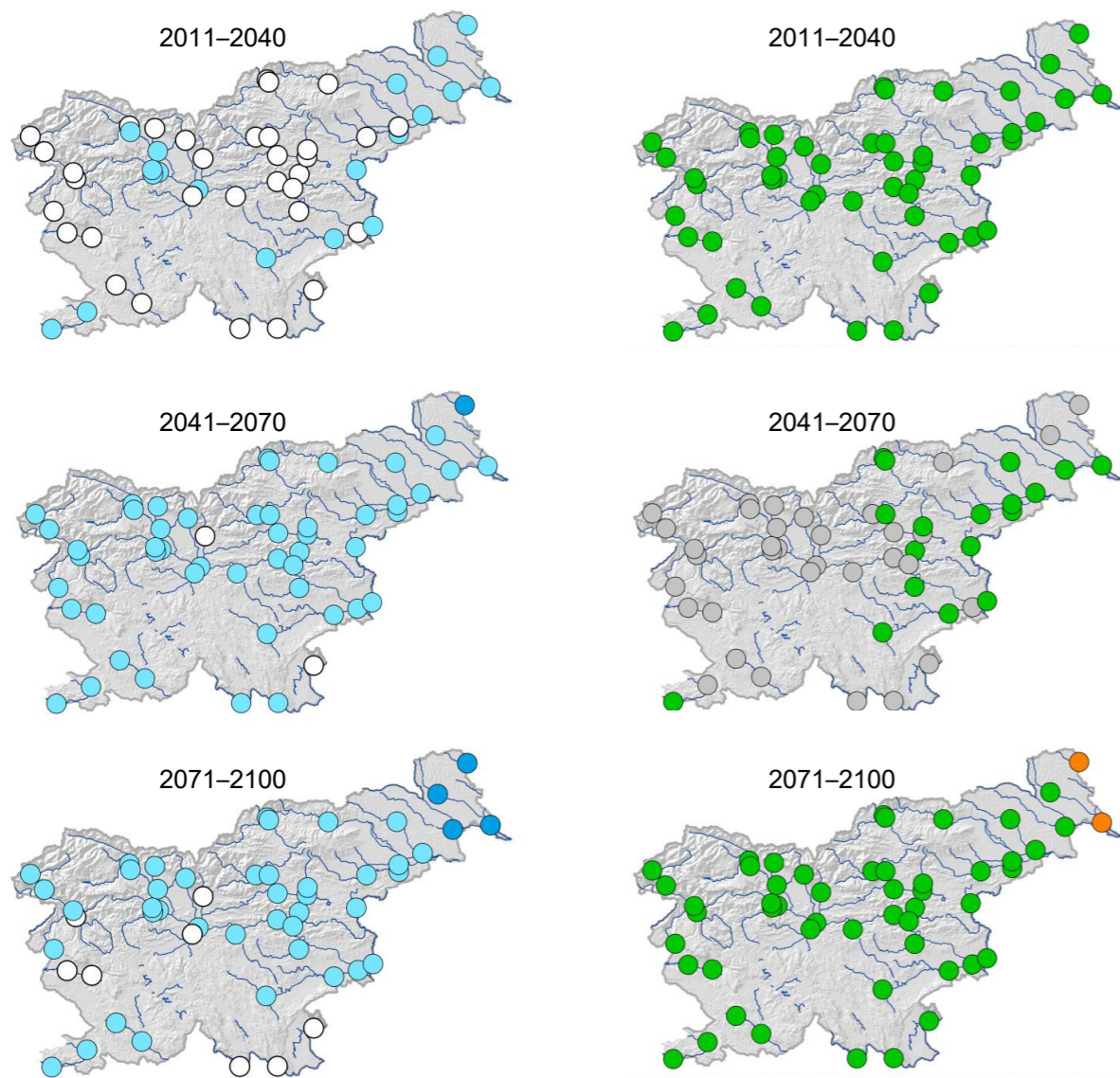
Srednji pretok, scenarij RCP4.5

Odklon glede na obdobje 1981–2010

Zanesljivost

Odklon glede na obdobje 1981–2010

Zanesljivost



Slika 4.13 | Relativna sprememba srednjih pretokov v treh projekcijskih obdobjih glede na obdobje 1981–2010 in pripadajoča zanesljivost spremembe za scenarij RCP2.6

Slika 4.14 | Relativna sprememba srednjih pretokov v treh projekcijskih obdobjih glede na obdobje 1981–2010 in pripadajoča zanesljivost spremembe za scenarij RCP4.5

Srednji pretok, scenarij RCP8.5

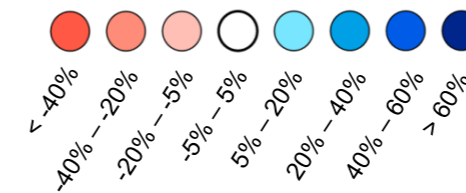
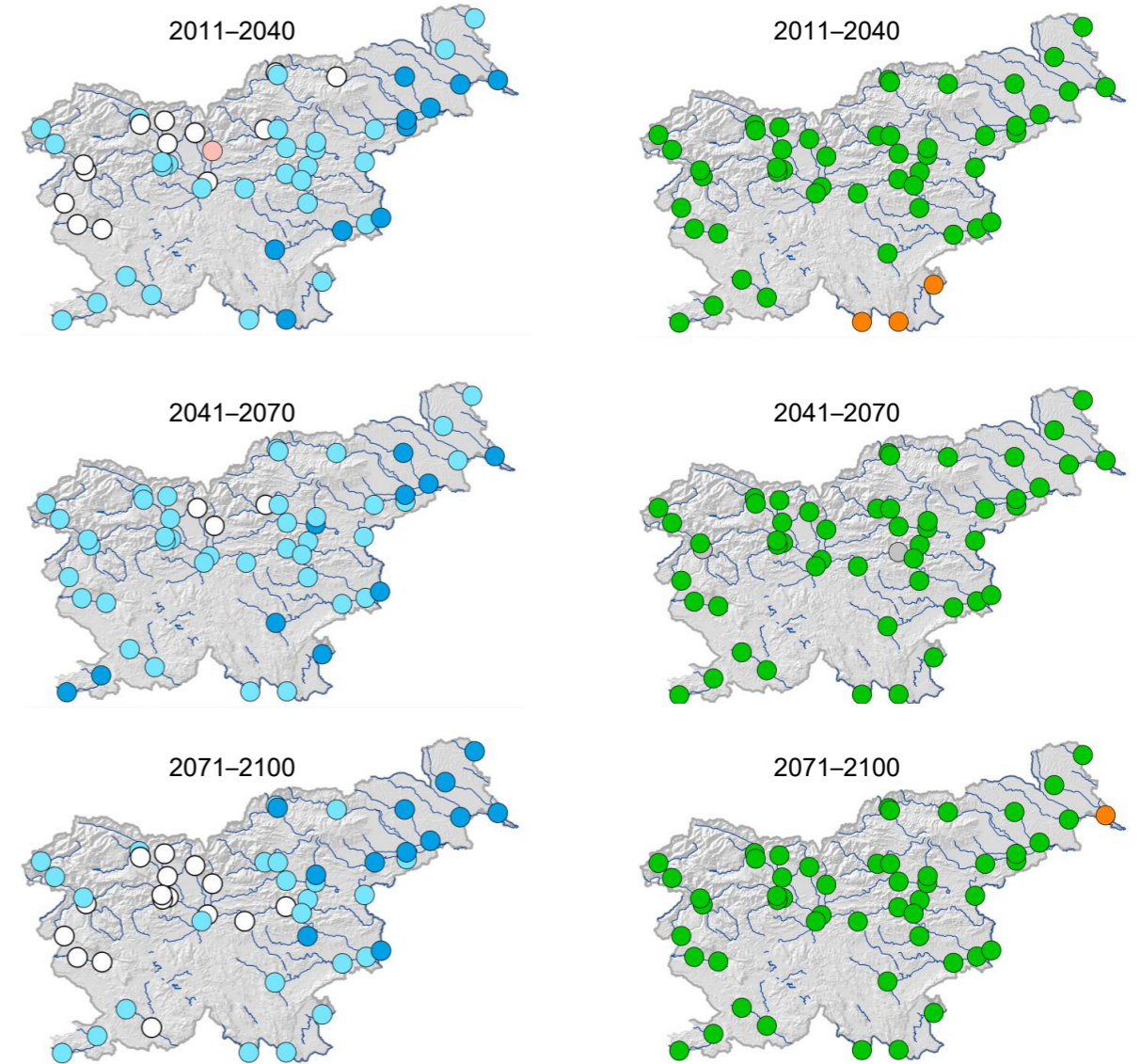
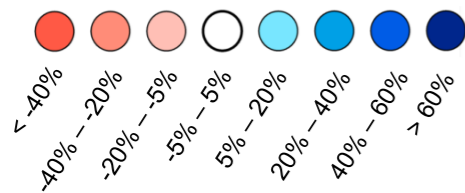
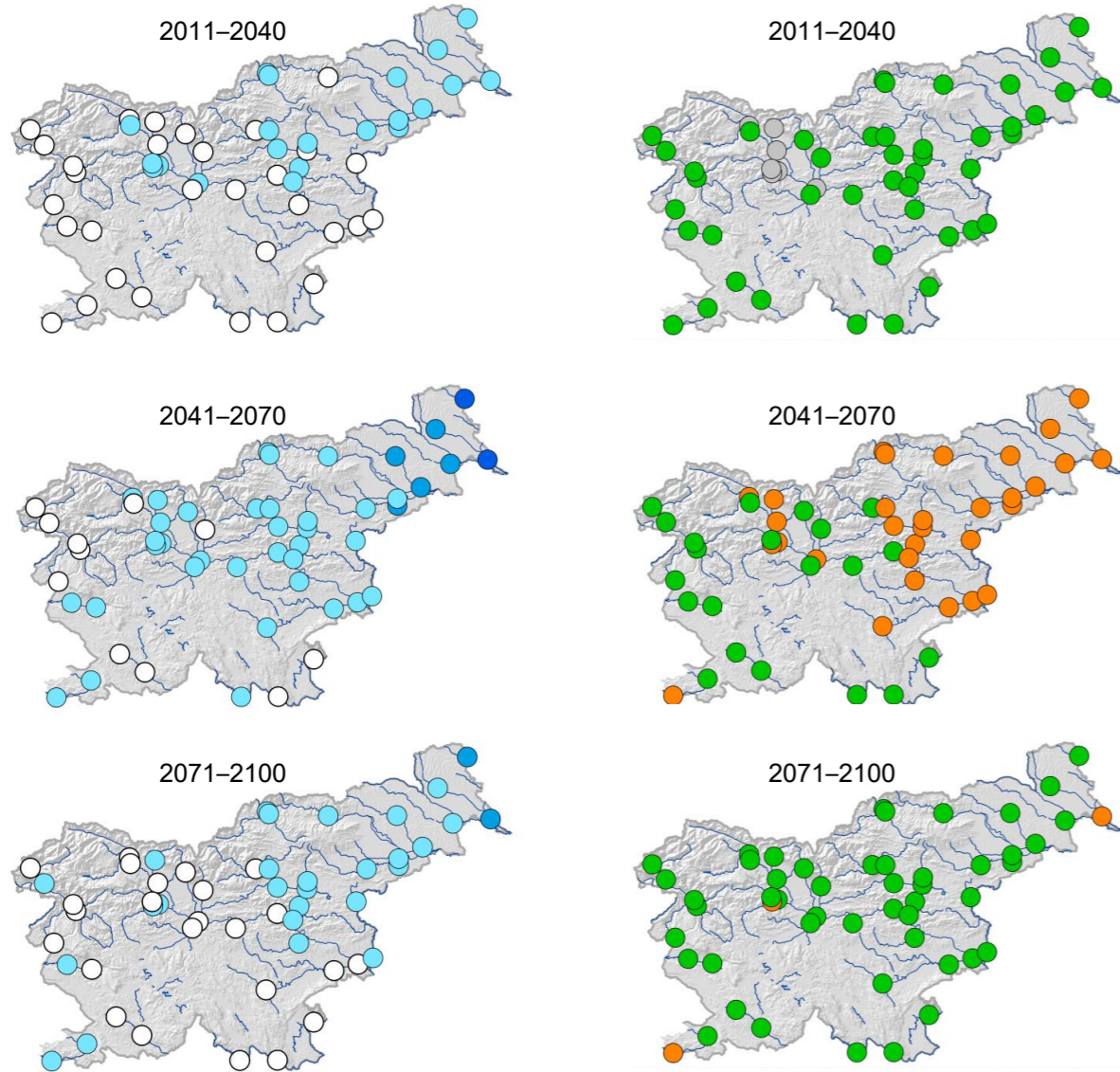
Letne konice, scenarij RCP2.6

Odklon glede na obdobje 1981–2010

Zanesljivost

Odklon glede na obdobje 1981–2010

Zanesljivost



Slika 4.15 | Relativna sprememba srednjih pretokov v treh projekcijskih obdobjih glede na obdobje 1981–2010 in pripadajoča zanesljivost spremembe za scenarij RCP8.5

Slika 4.16 | Relativna sprememba velikih pretokov (srednjih letnih konic) v treh projekcijskih obdobjih glede na obdobje 1981–2010 in pripadajoča zanesljivost spremembe za scenarij RCP2.6

Letne konice, scenarij RCP4.5

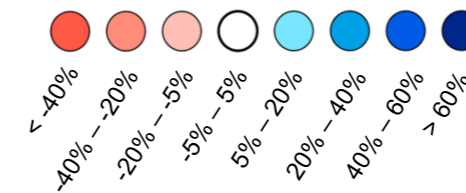
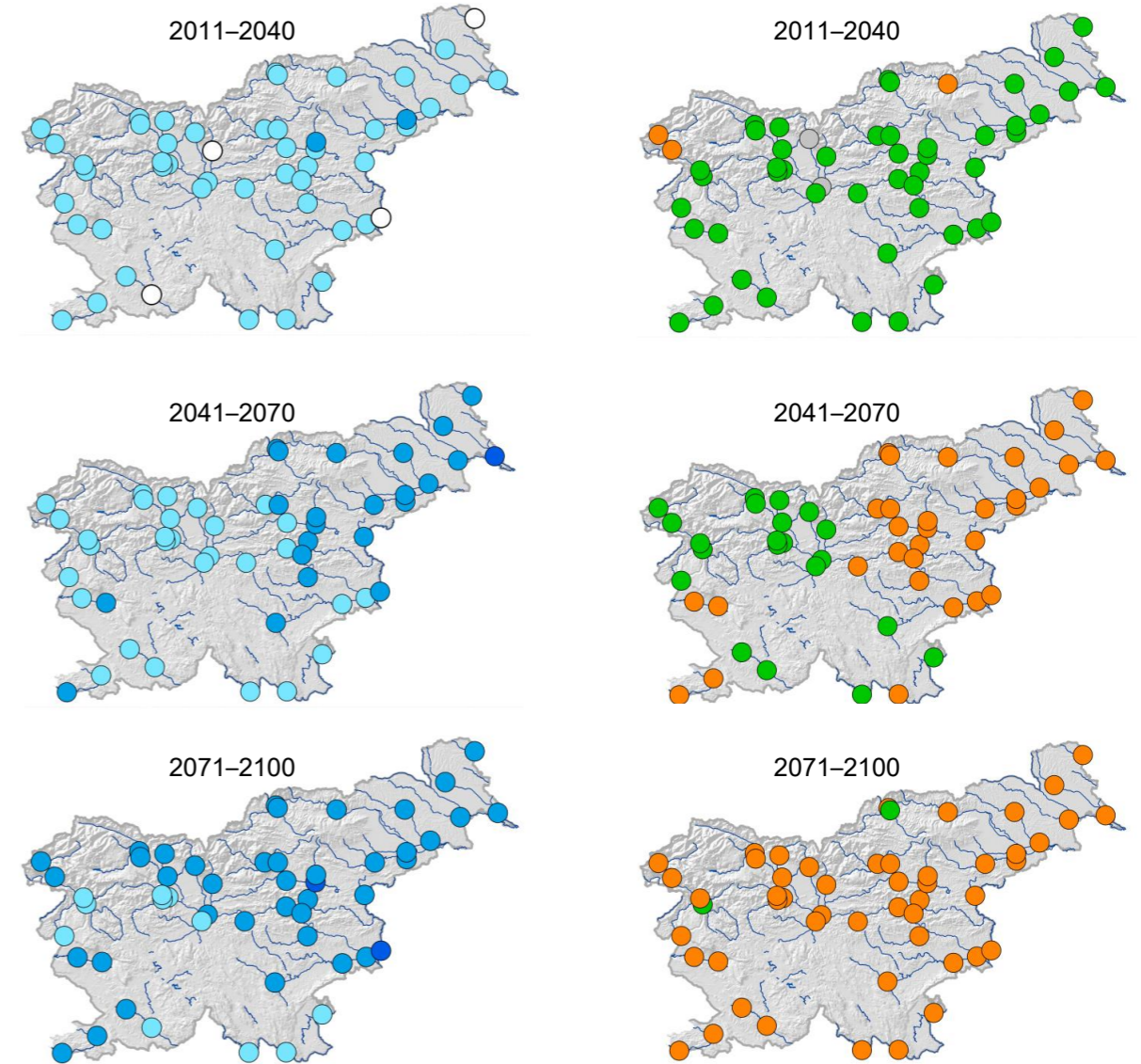
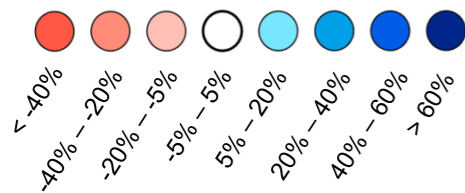
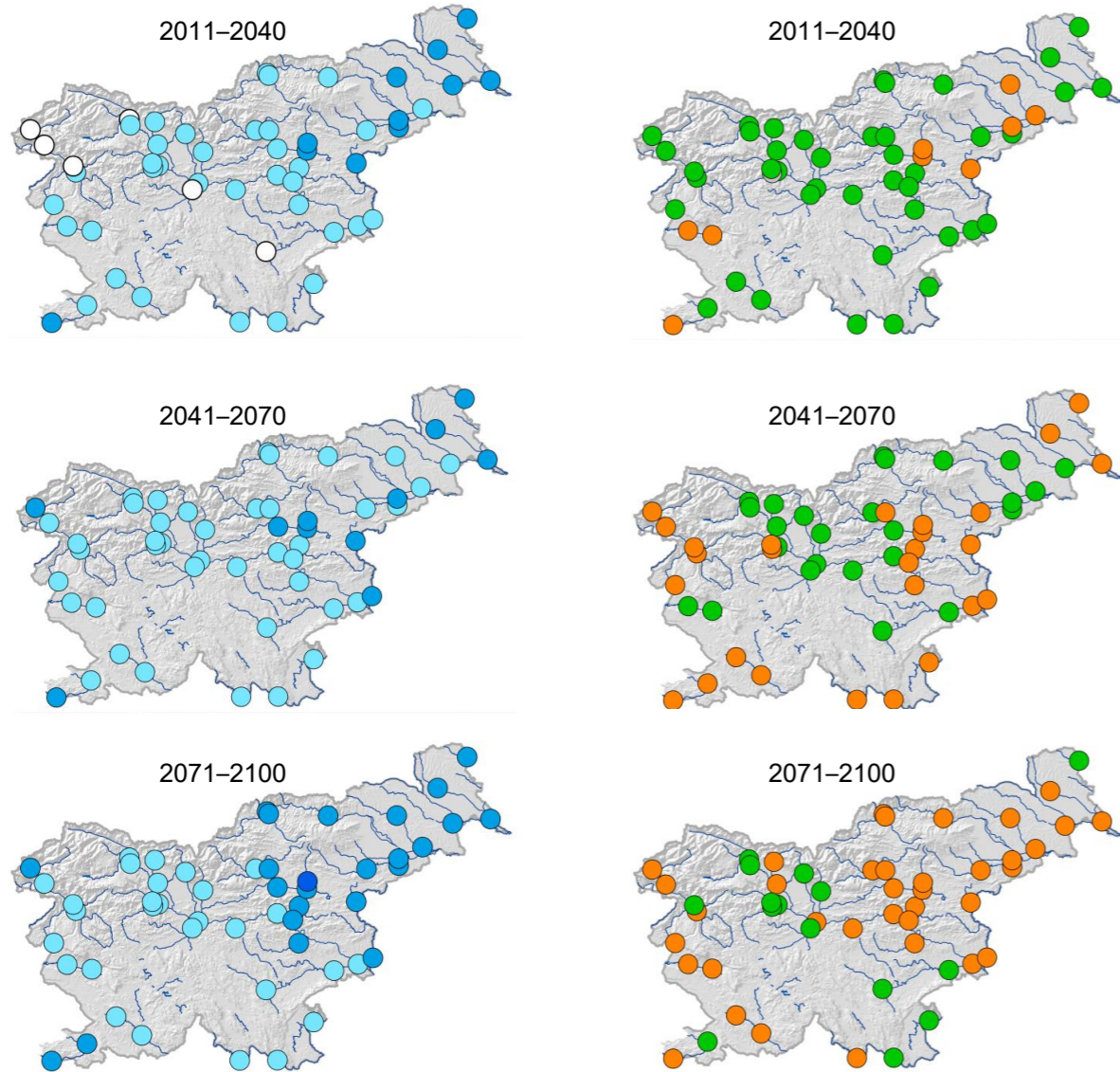
Letne konice, scenarij RCP8.5

Odklon glede na obdobje 1981–2010

Zanesljivost

Odklon glede na obdobje 1981–2010

Zanesljivost



Slika 4.17 | Relativna sprememba velikih pretokov (srednjih letnih konic) v treh projekcijskih obdobjih glede na obdobje 1981–2010 in pripadajoča zanesljivost spremembe za scenarij RCP4.5

Slika 4.18 | Relativna sprememba velikih pretokov (srednjih letnih konic) v treh projekcijskih obdobjih glede na obdobje 1981–2010 in pripadajoča zanesljivost spremembe za scenarij RCP8.5

Srednji mali pretok, scenarij RCP2.6

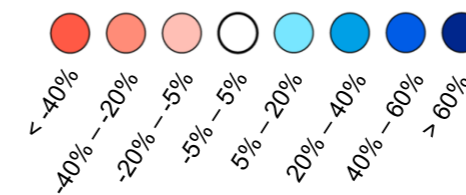
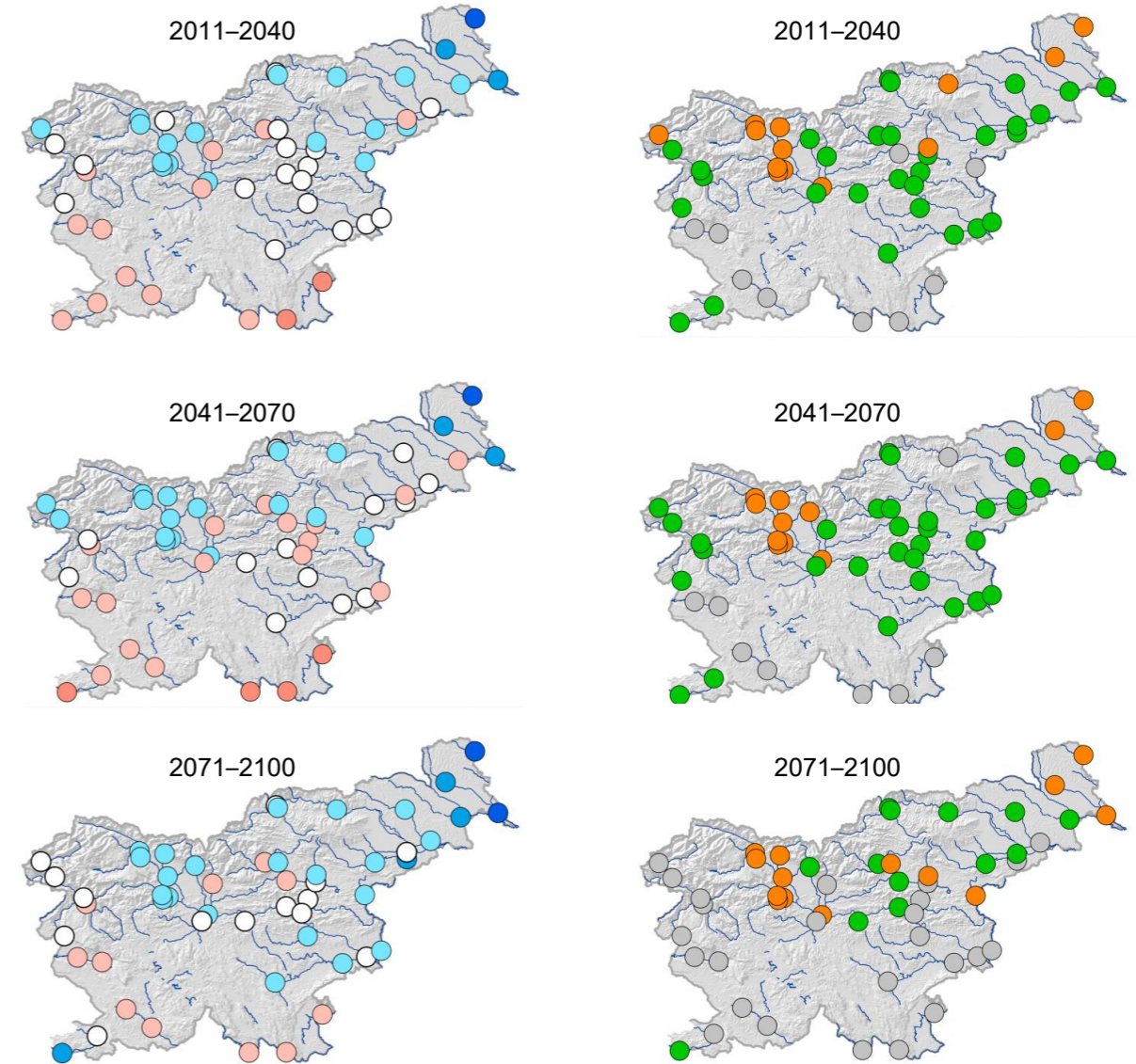
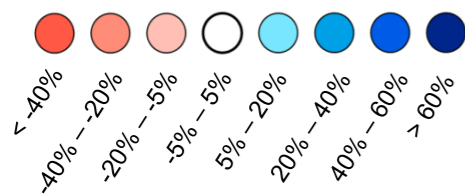
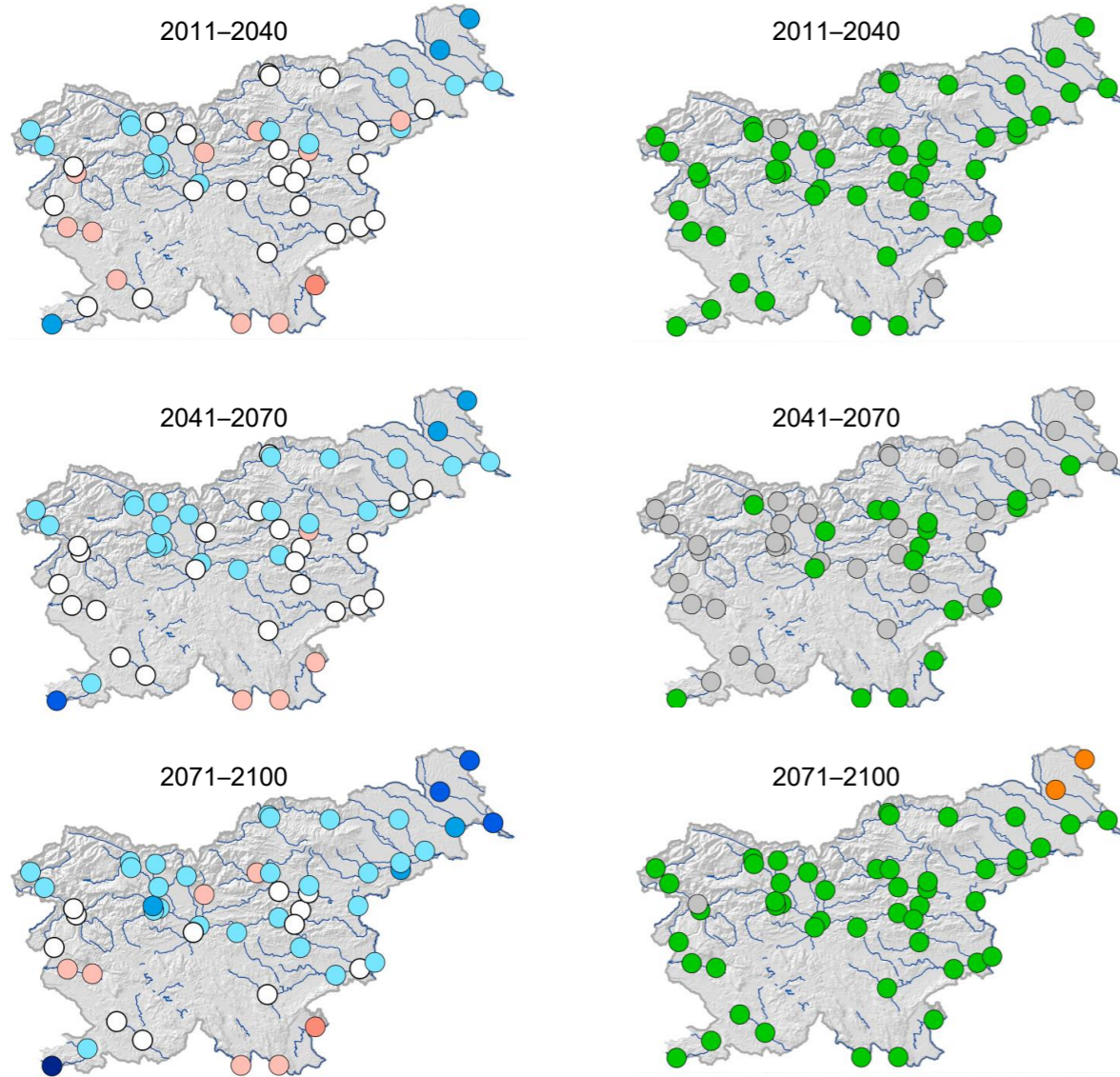
Srednji mali pretok, scenarij RCP4.5

Odklon glede na obdobje 1981–2010

Zanesljivost

Odklon glede na obdobje 1981–2010

Zanesljivost



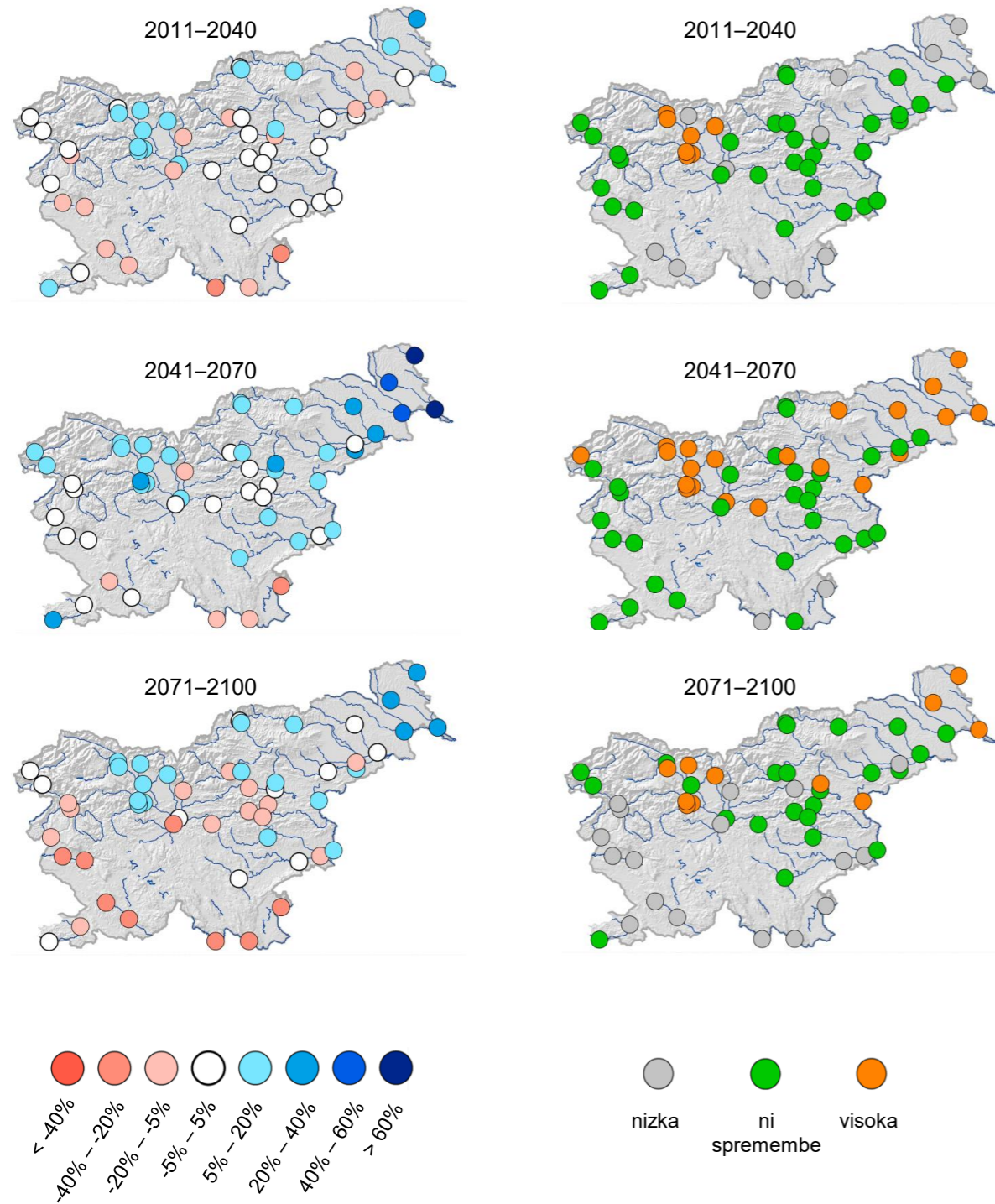
Slika 4.19 | Relativna sprememba srednjih malih pretokov v treh projekcijskih obdobjih glede na obdobje 1981–2010 in pripadajoča zanesljivost spremembe za scenarij RCP2.6

Slika 4.20 | Relativna sprememba srednjih malih pretokov v treh projekcijskih obdobjih glede na obdobje 1981–2010 in pripadajoča zanesljivost spremembe za scenarij RCP4.5

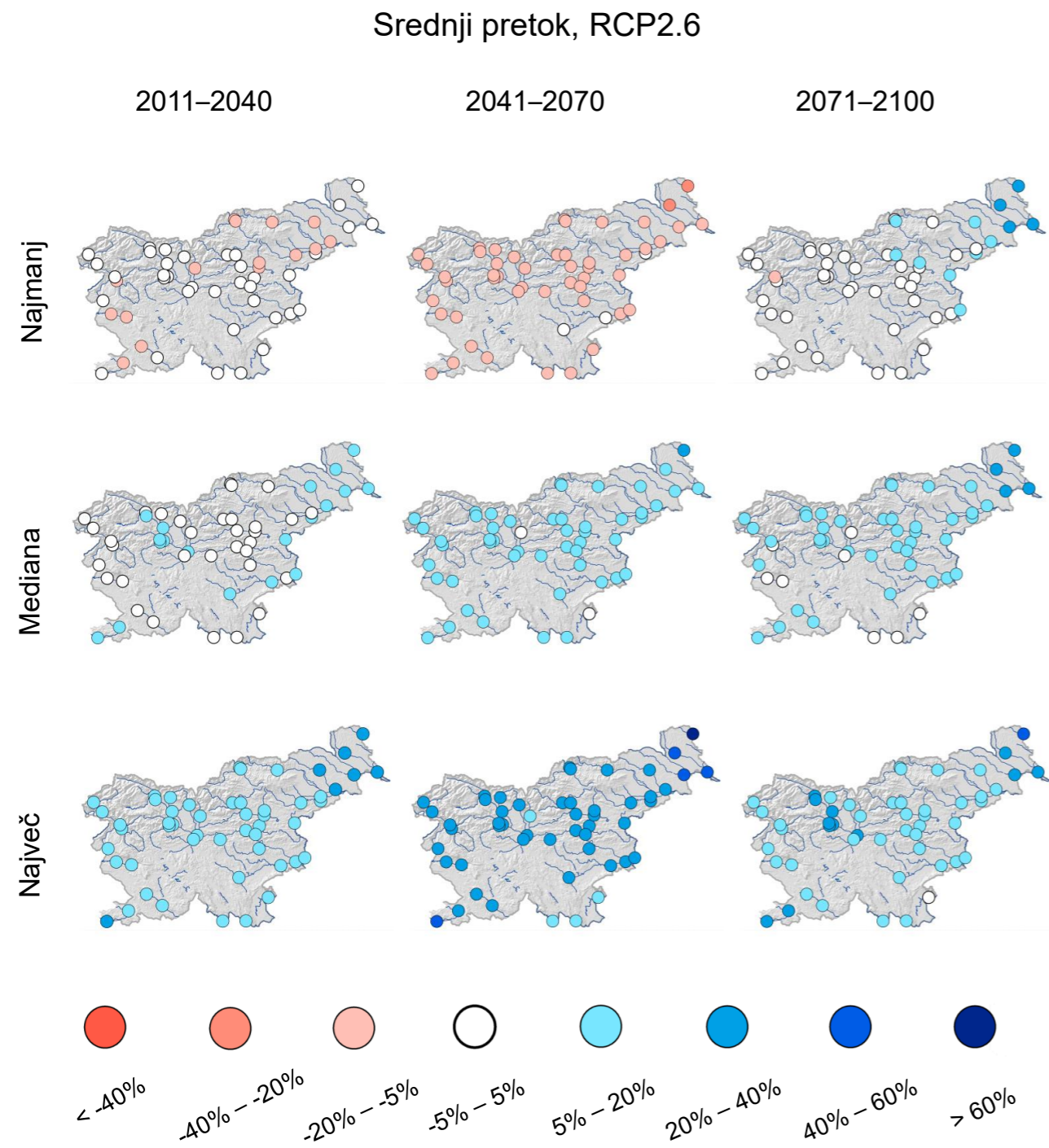
Srednji mali pretok, scenarij RCP8.5

Odklon glede na obdobje 1981–2010

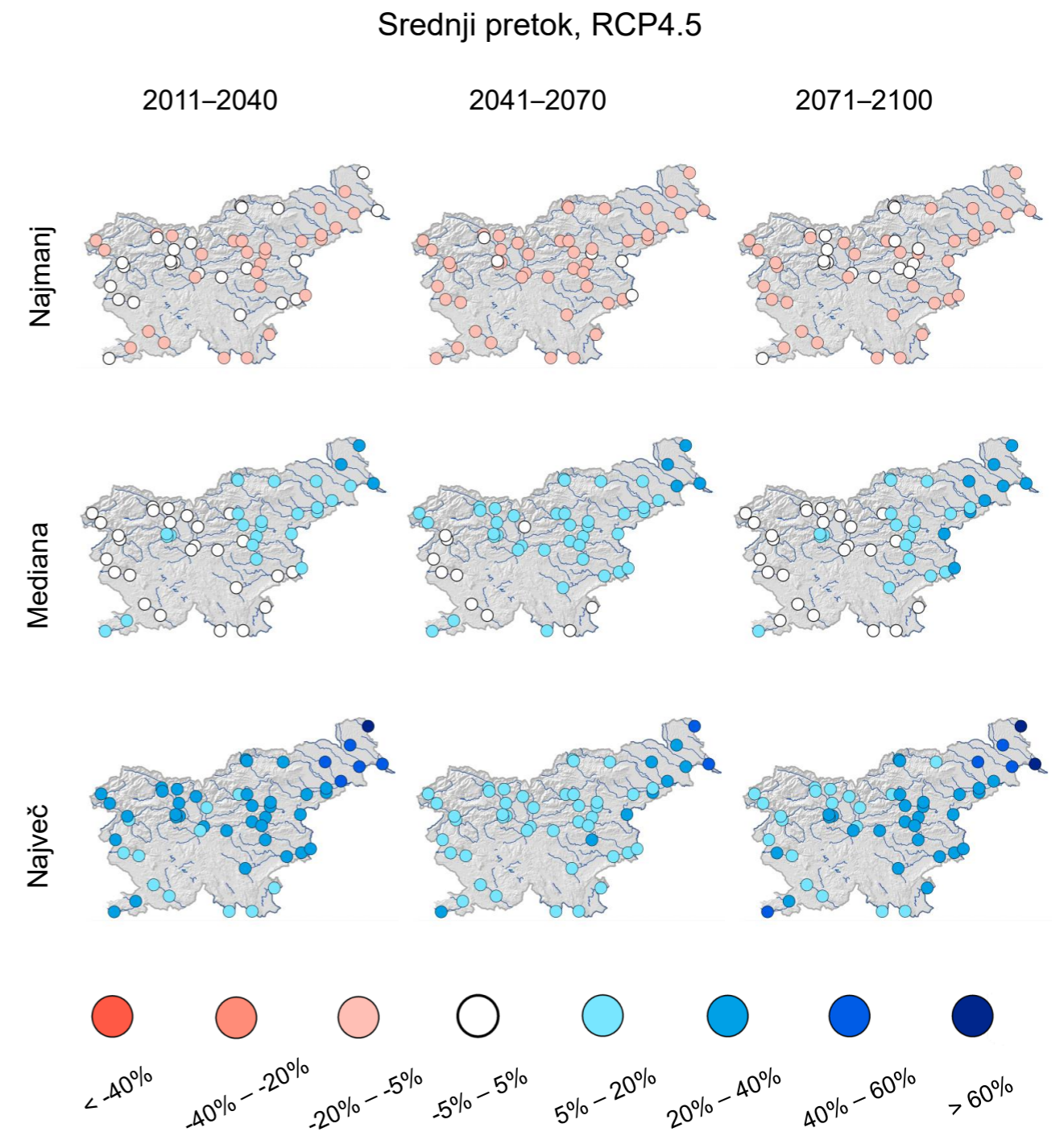
Zanesljivost



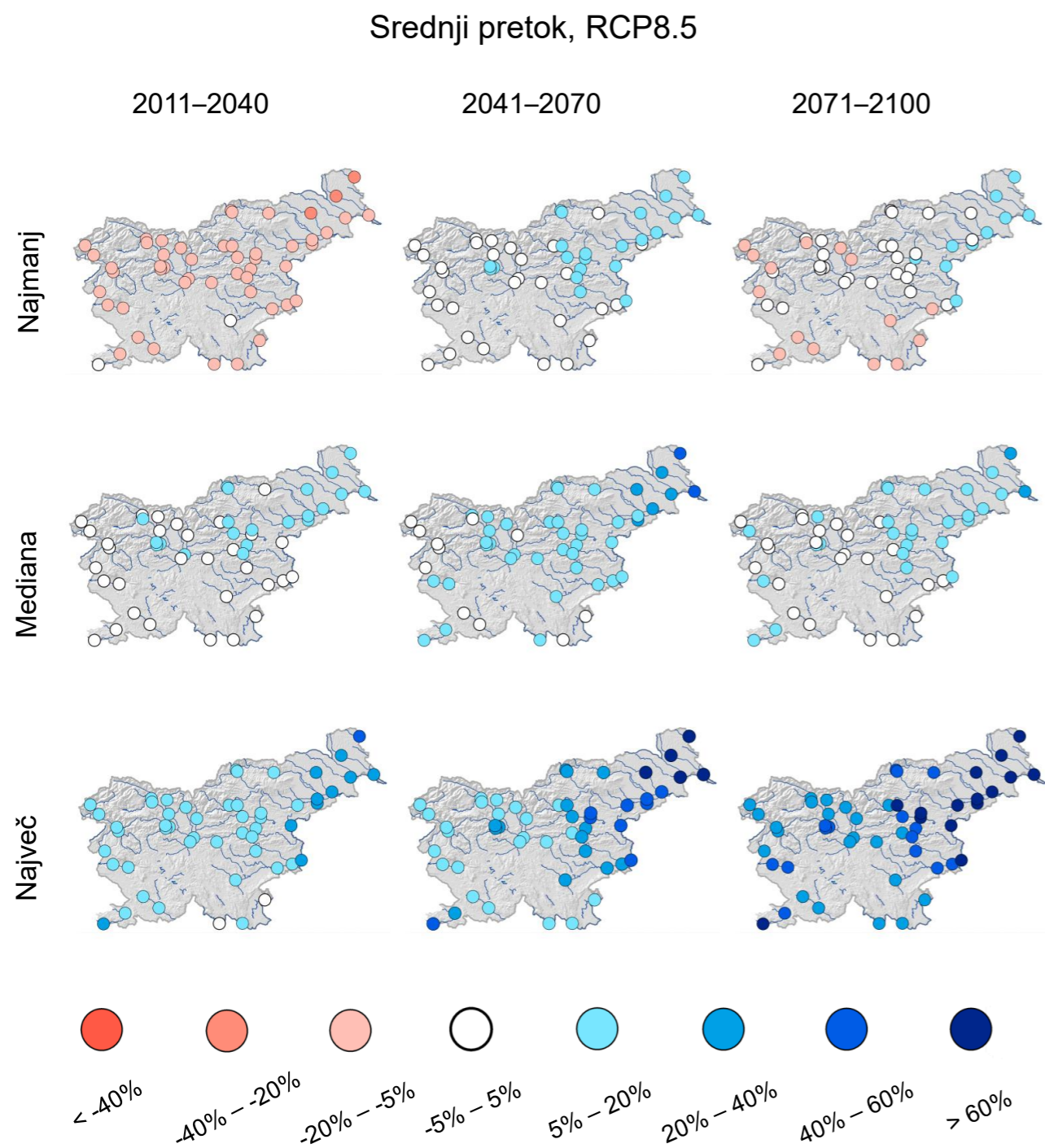
Slika 4.21 | Relativna sprememba srednjih malih pretokov v treh projekcijskih obdobjih glede na obdobje 1981–2010 in pripadajoča zanesljivost spremembe za scenarij RCP8.5



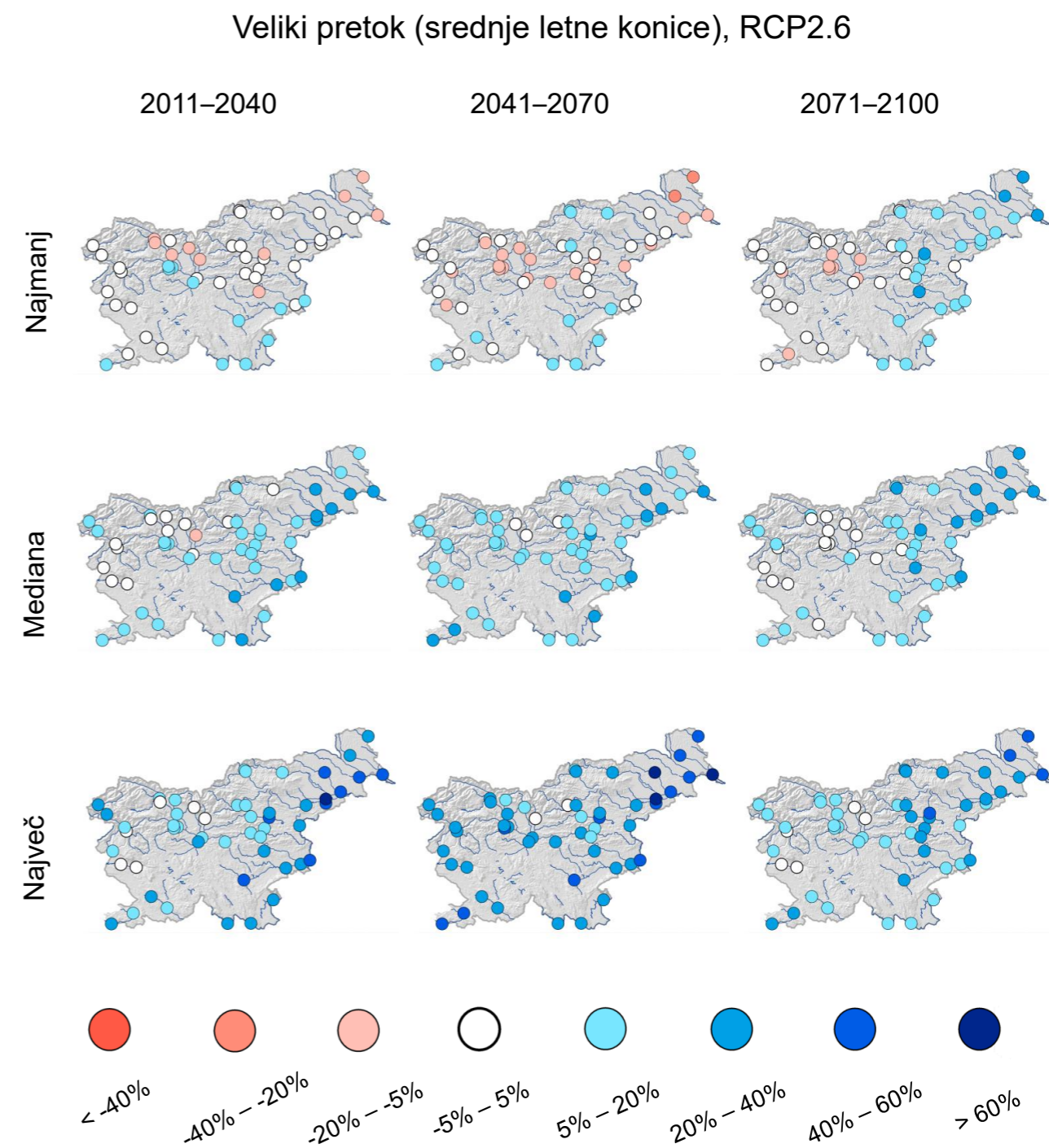
Slika 4.22 | Najmanjša vrednost, mediana in največja vrednost modelske relativne spremembe srednjih pretokov glede na povprečje v obdobju 1981–2010 v treh projekcijskih obdobjih po scenariju RCP2.6



Slika 4.23 | Najmanjša vrednost, mediana in največja vrednost modelske relativne spremembe srednjih pretokov glede na povprečje v obdobju 1981–2010 v treh projekcijskih obdobjih po scenariju RCP4.5

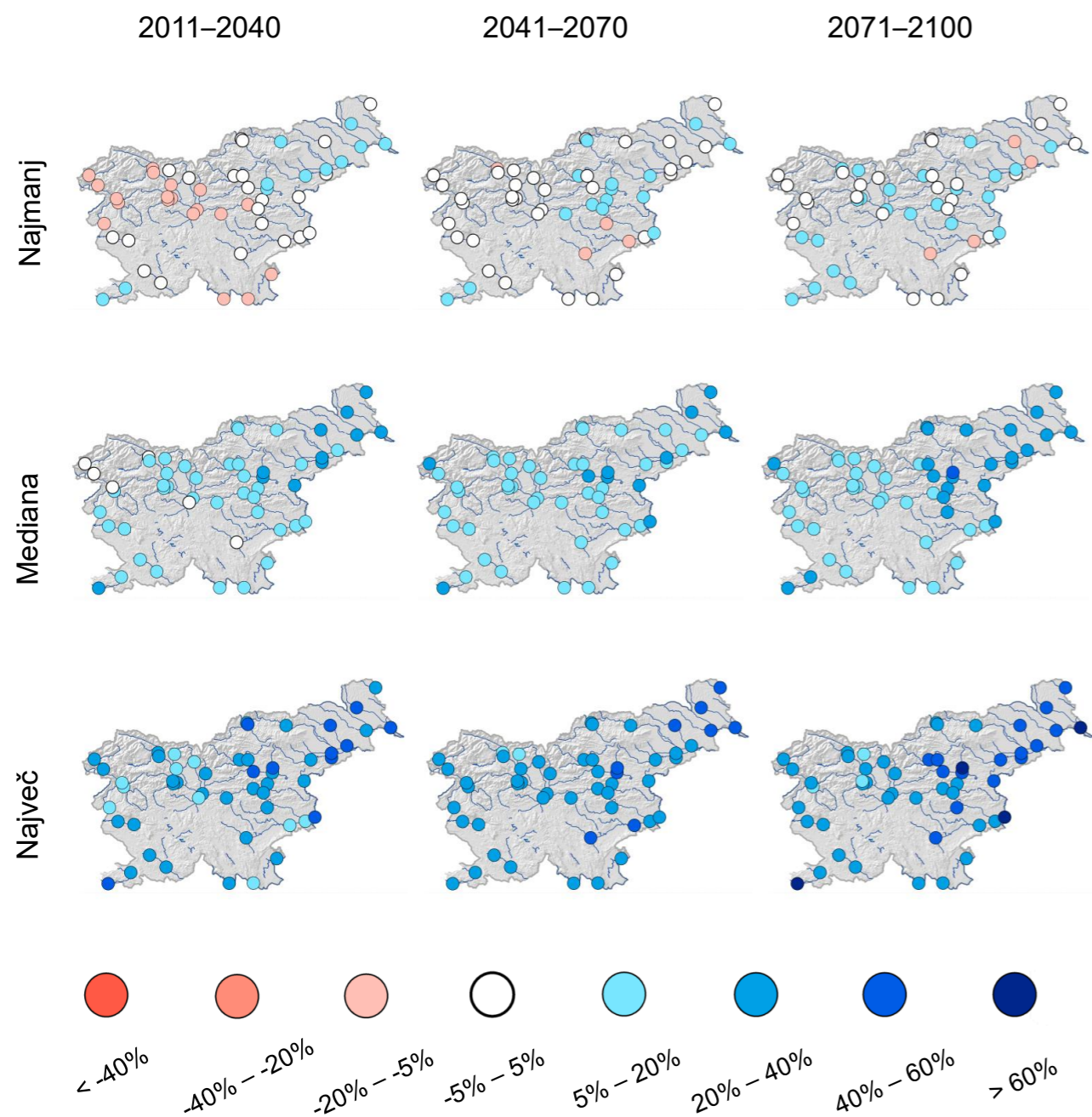


Slika 4.24 | Najmanjša vrednost, mediana in največja vrednost modelske relativne spremembe srednjih pretokov glede na povprečje v obdobju 1981–2010 v treh projekcijskih obdobjih po scenariju RCP8.5



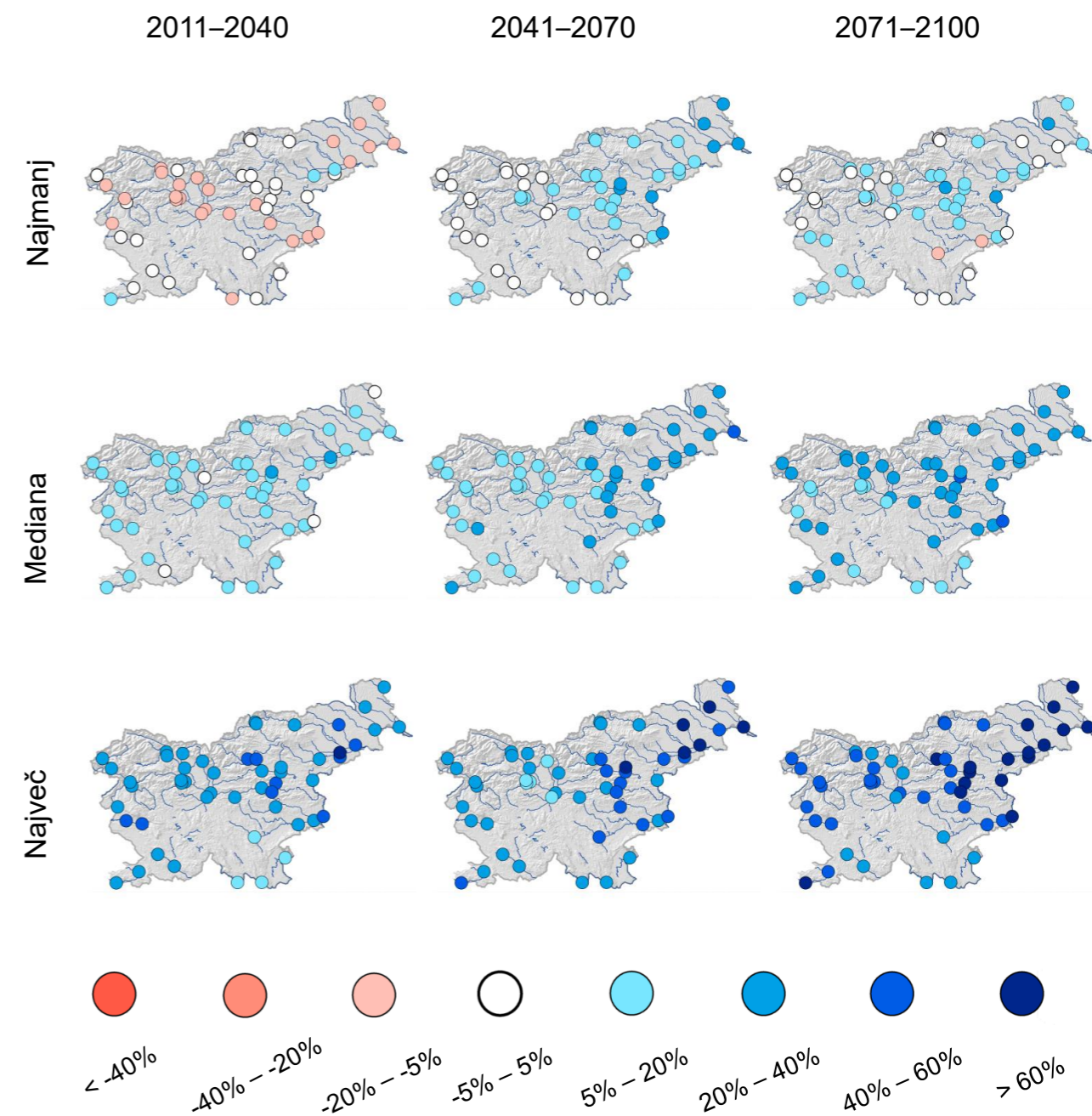
Slika 4.25 | Najmanjša vrednost, mediana in največja vrednost modelske relativne spremembe velikih pretokov (srednjih letnih konic) glede na povprečje v obdobju 1981–2010 v treh projekcijskih obdobjih po scenariju RCP2.6

Veliki pretok (srednje letne konice), RCP4.5

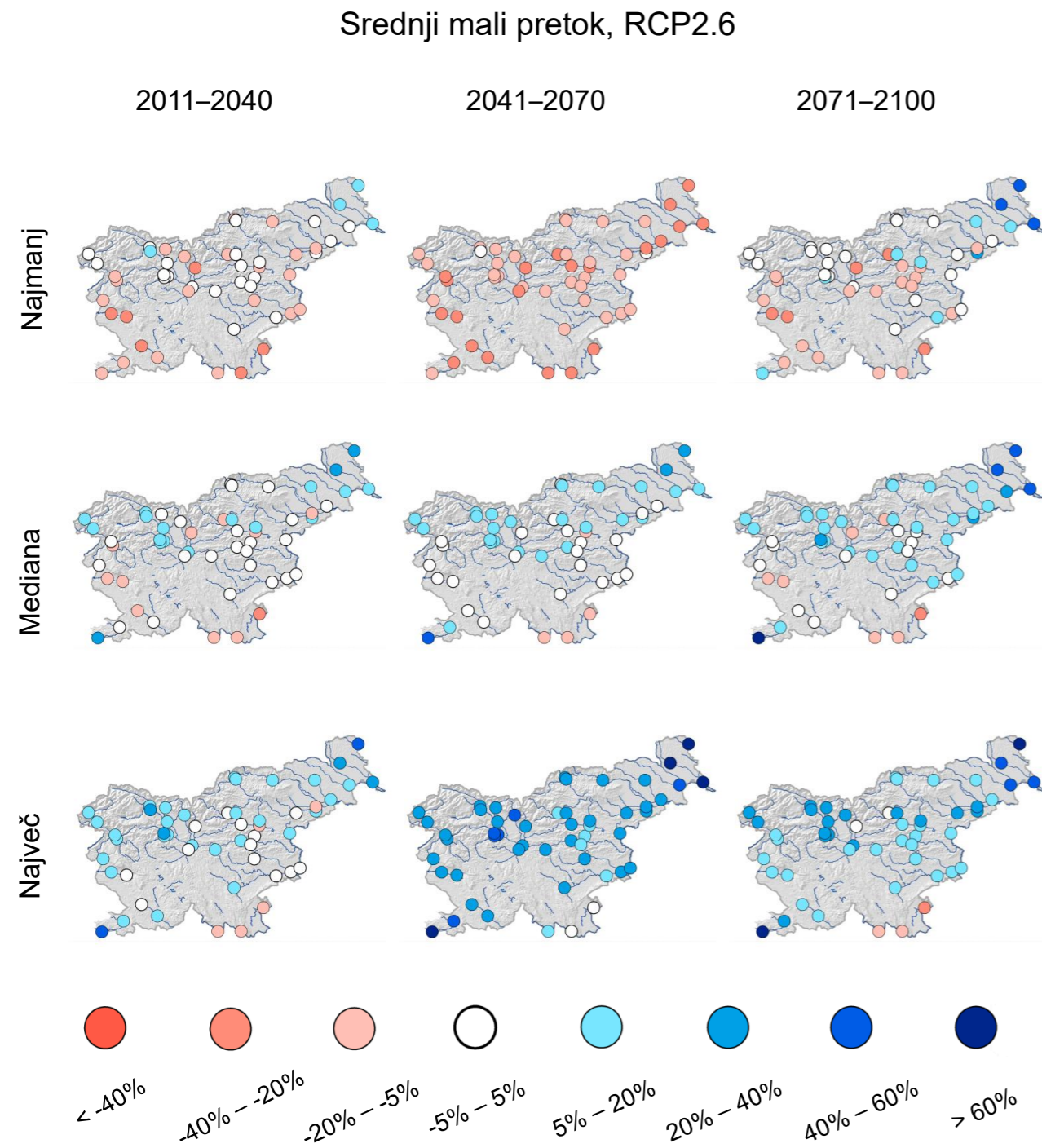


Slika 4.26 | Najmanjša vrednost, mediana in največja vrednost modelske relativne spremembe velikih pretokov (srednjih letnih konic) glede na povprečje v obdobju 1981–2010 v treh projekcijskih obdobjih po scenariju RCP4.5

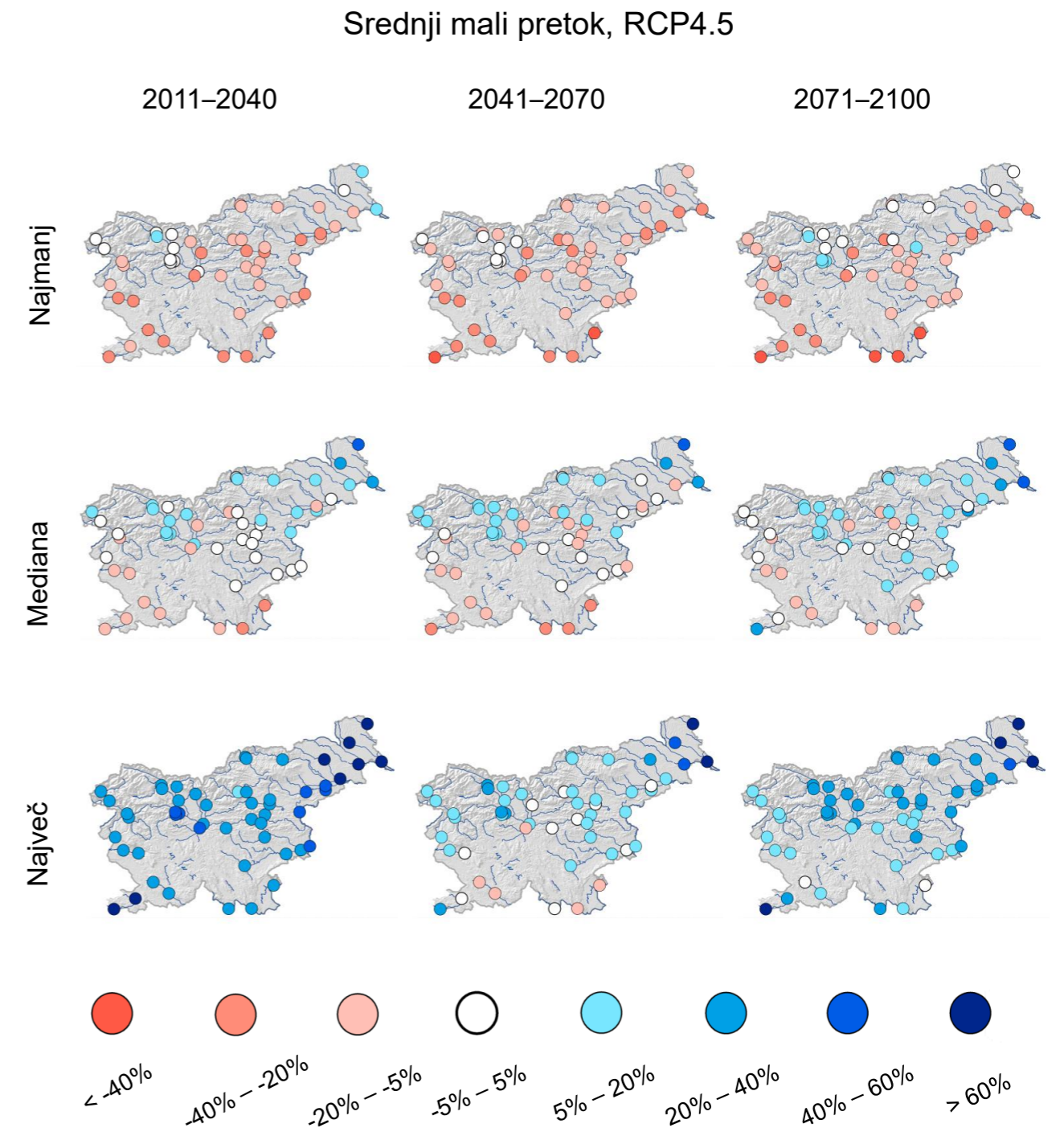
Veliki pretok (srednje letne konice), RCP8.5



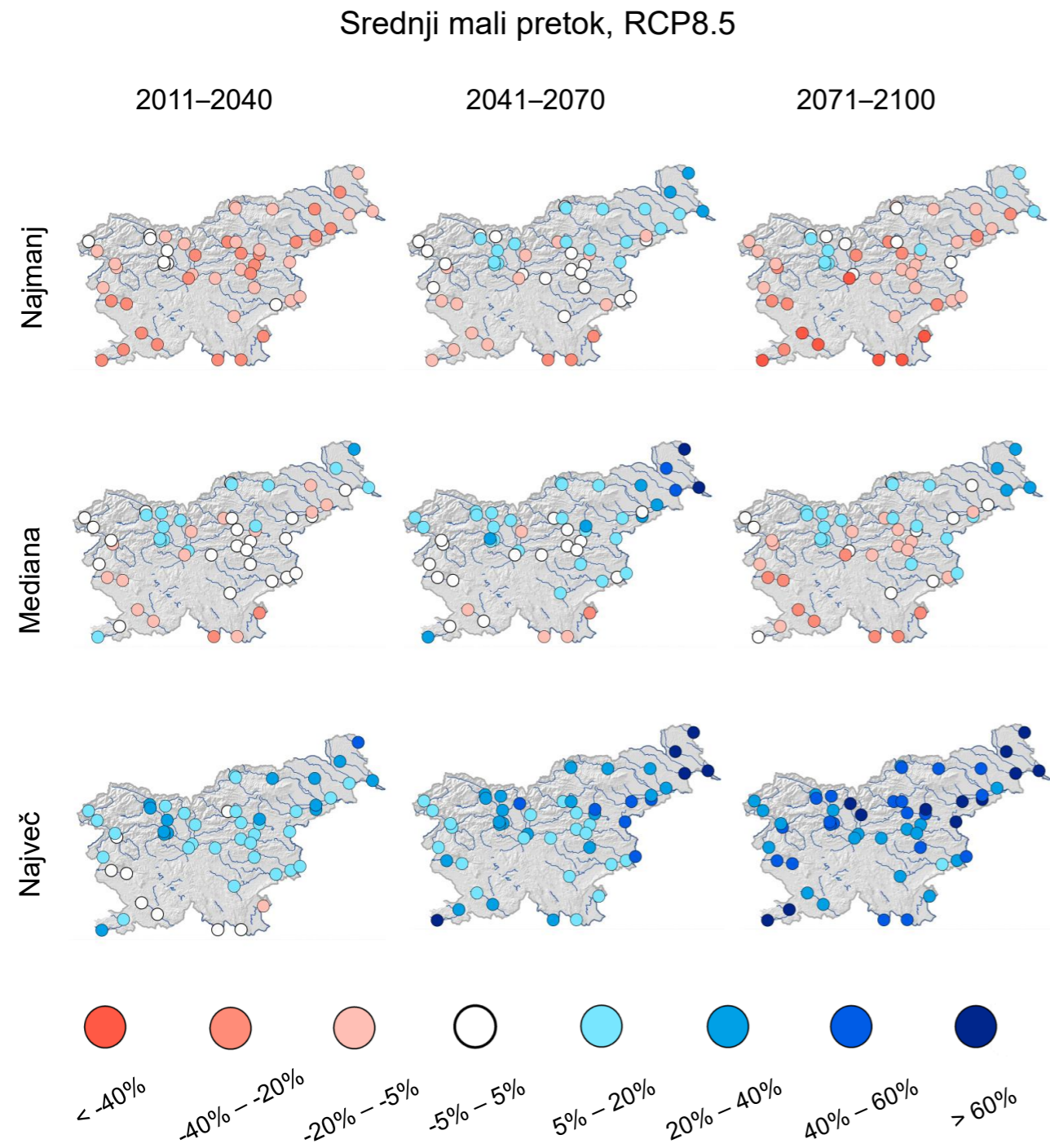
Slika 4.27 | Najmanjša vrednost, mediana in največja vrednost modelske relativne spremembe velikih pretokov (srednjih letnih konic) glede na povprečje v obdobju 1981–2010 v treh projekcijskih obdobjih po scenariju RCP8.5



Slika 4.28 | Najmanjša vrednost, mediana in največja vrednost modelske relativne spremembe srednjih malih pretokov glede na povprečje v obdobju 1981–2010 v treh projekcijskih obdobjih po scenariju RCP2.6

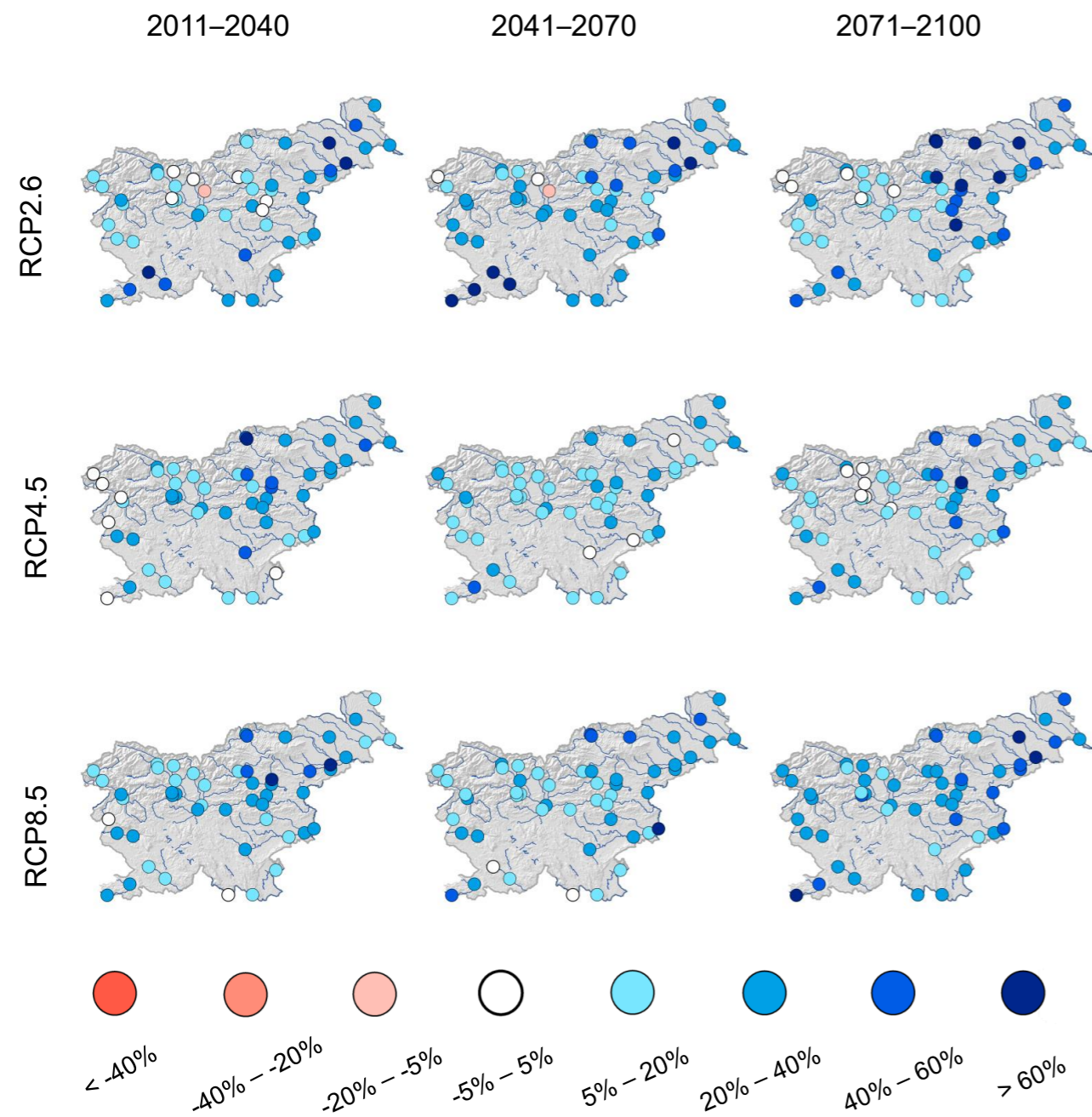


Slika 4.29 | Najmanjša vrednost, mediana in največja vrednost modelske relativne spremembe srednjih malih pretokov glede na povprečje v obdobju 1981–2010 v treh projekcijskih obdobjih po scenariju RCP4.5



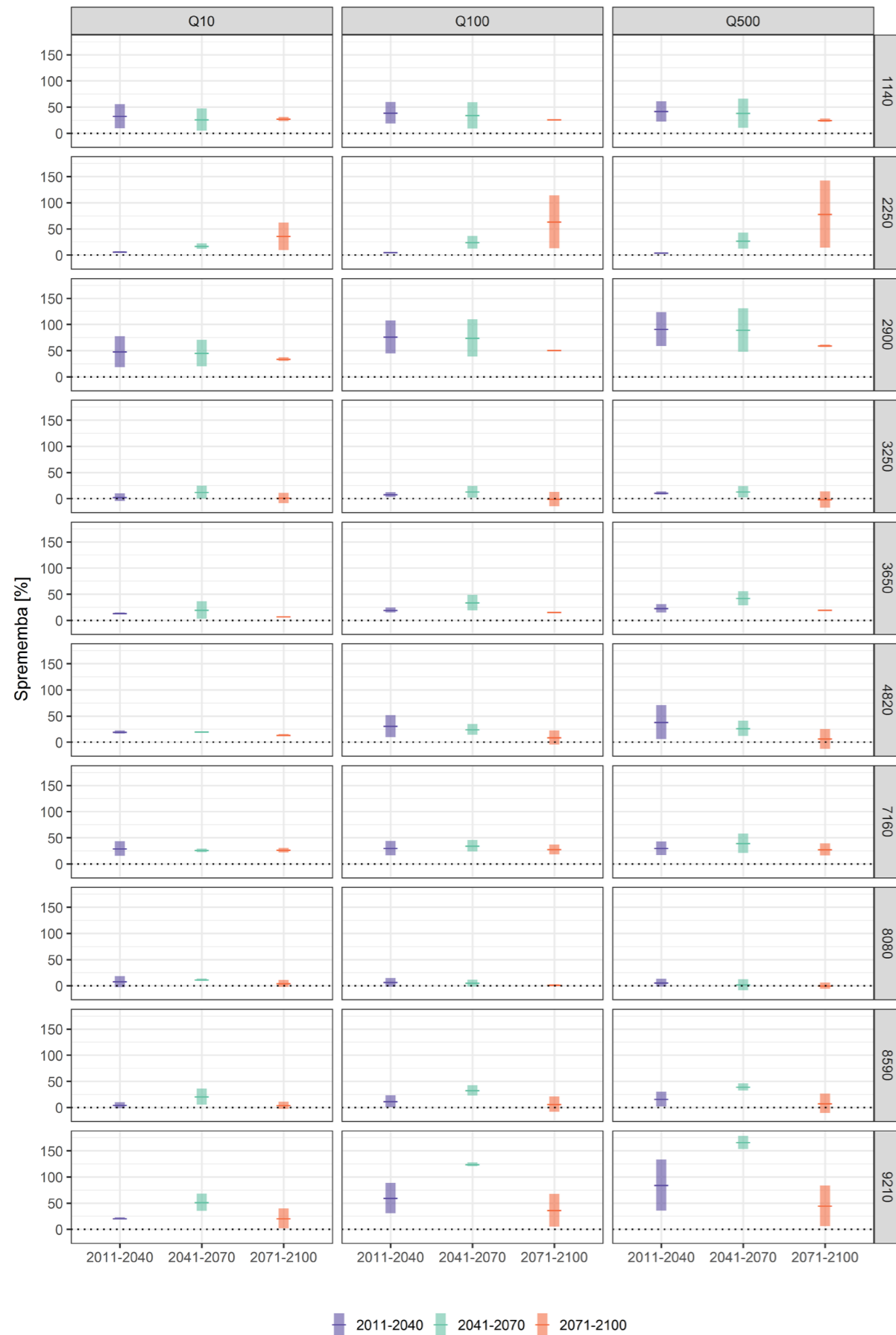
Slika 4.30 | Najmanjša vrednost, mediana in največja vrednost modelske relativne spremembe srednjih malih pretokov glede na povprečje v obdobju 1981–2010 v treh projekcijskih obdobjih po scenariju RCP8.5

Povratne dobe za velike pretoke (Pearson3)



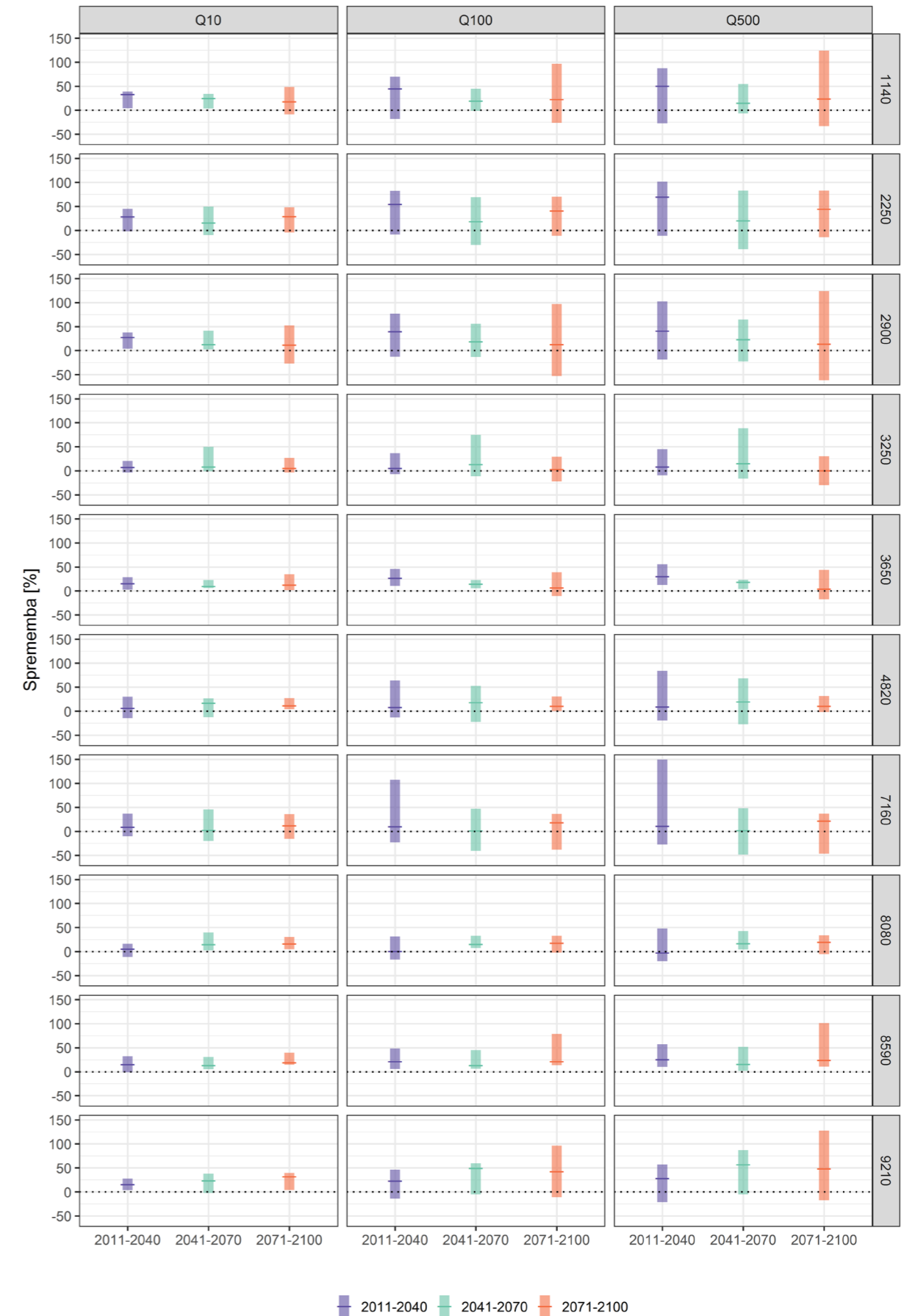
Slika 4.31 | Srednja relativna sprememba velikih pretokov s 100-letno povratno dobo v treh projekcijskih obdobjih glede na obdobje 1981–2010 za scenarije RCP2.6, RCP4.5 in RCP8.5 po porazdelitvi Pearson 3

Povratne dobe letnih visokovodnih konic, RCP2.6



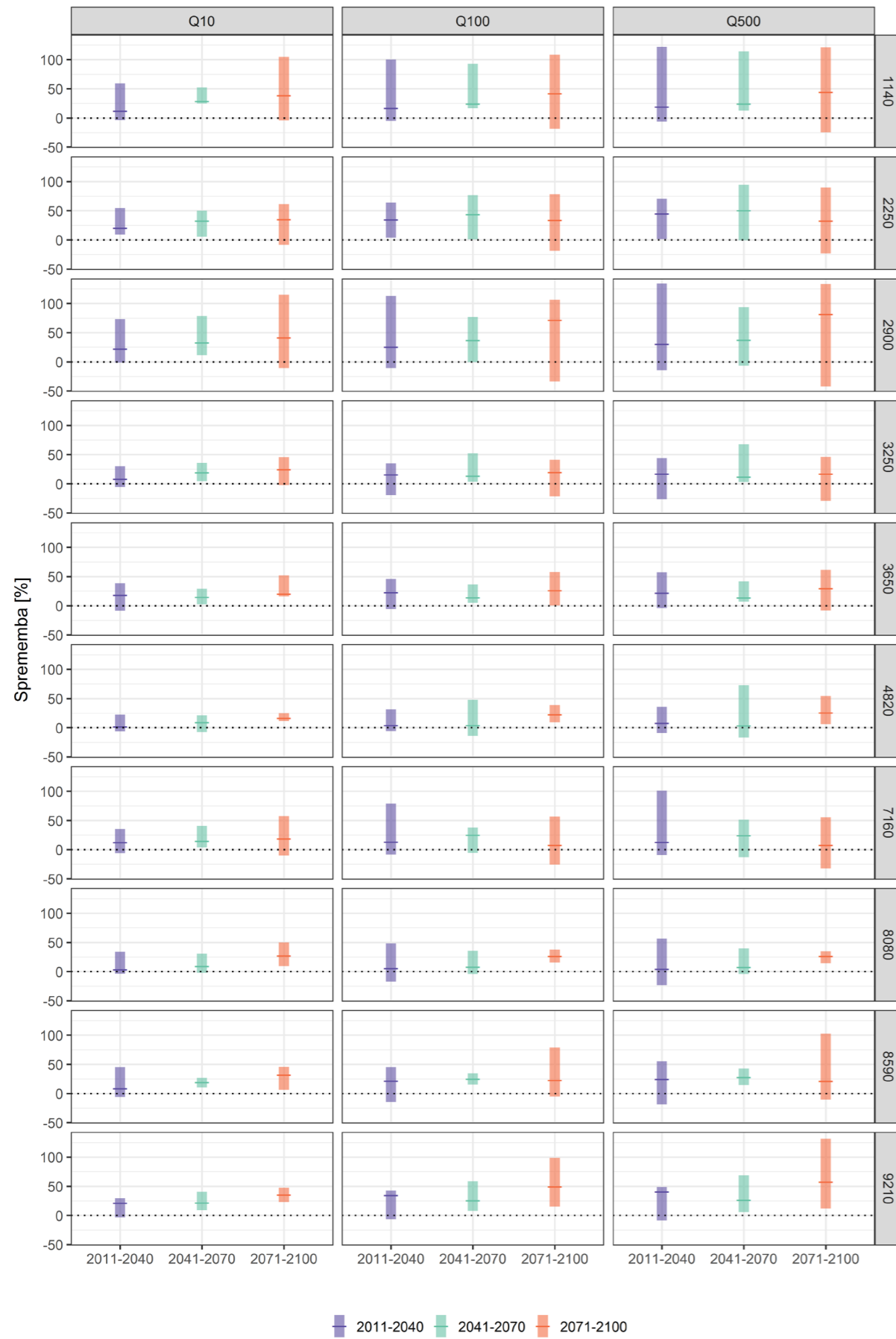
Slika 4.32 | Interval spremembe povratnih dob letnih visokovodnih konic za Q10, Q100 in Q500 (v %) v treh projekcijskih obdobjih glede na obdobje 1981–2010 za scenarij RCP2.6 po porazdelitvi Pearson 3 za izbrane vodomerne postaje

Povratne dobe letnih visokovodnih konic, RCP4.5



Slika 4.33 | Interval spremembe povratnih dob letnih visokovodnih konic za Q10, Q100 in Q500 (v %) v treh projekcijskih obdobjih glede na obdobje 1981–2010 za scenarij RCP4.5 po porazdelitvi Pearson 3 za izbrane vodomerne postaje

Povratne dobe letnih visokovodnih konic, RCP8.5



Slika 4.34 | Interval spremembe povratnih dob letnih visokovodnih konic za Q10, Q100 in Q500 (v %) v treh projekcijskih obdobjih glede na obdobje 1981–2010 za scenarij RCP8.5 po porazdelitvi Pearson 3 za izbrane vodomerne postaje



REPUBLIKA SLOVENIJA
MINISTRSTVO ZA OKOLJE IN PROSTOR

AGENCIJA REPUBLIKE SLOVENIJE ZA OKOLJE